

集積デバイス工学

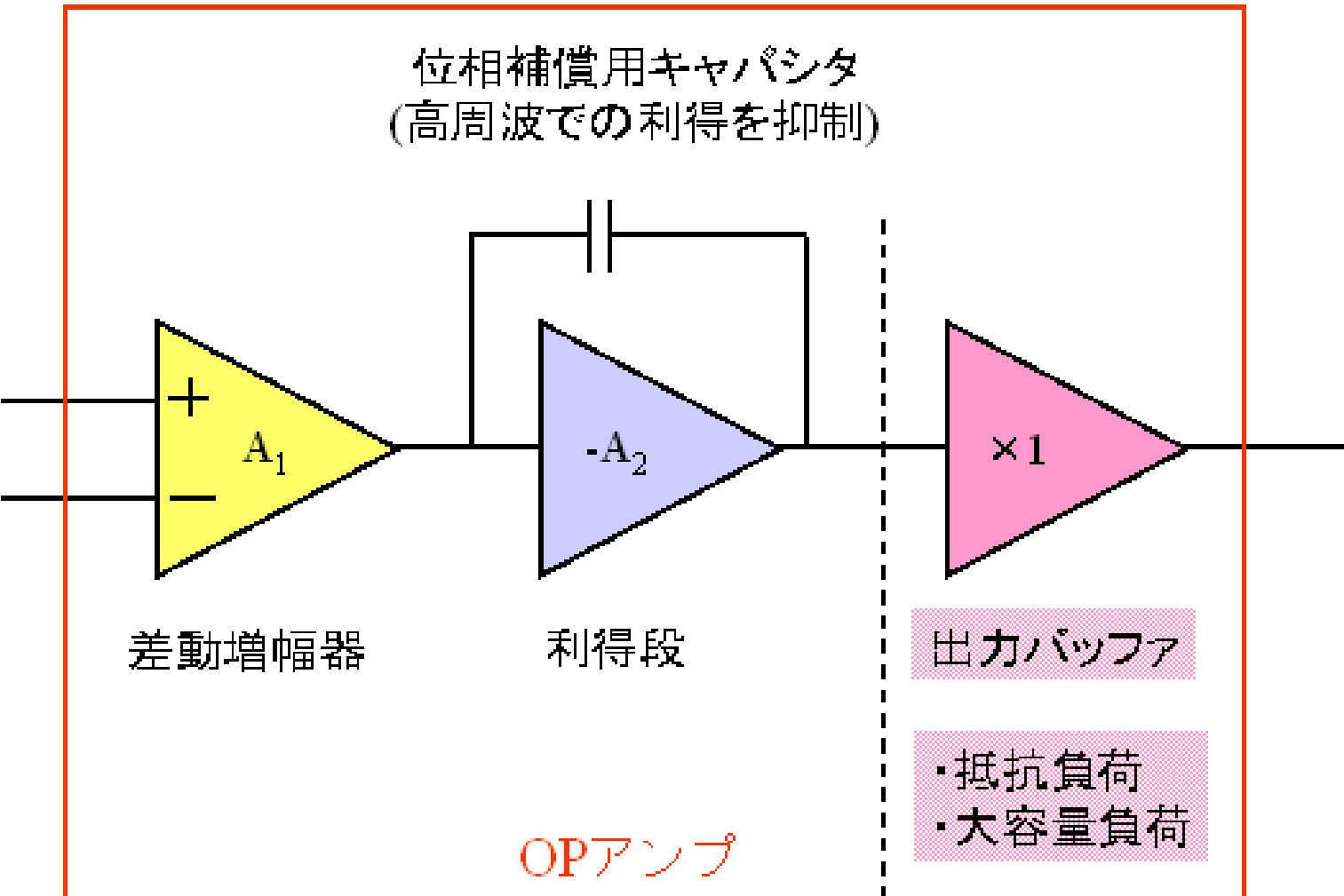
オペアンプ(2)

- ・出力段の設計
- ・設計上の注意事項
- ・位相補償

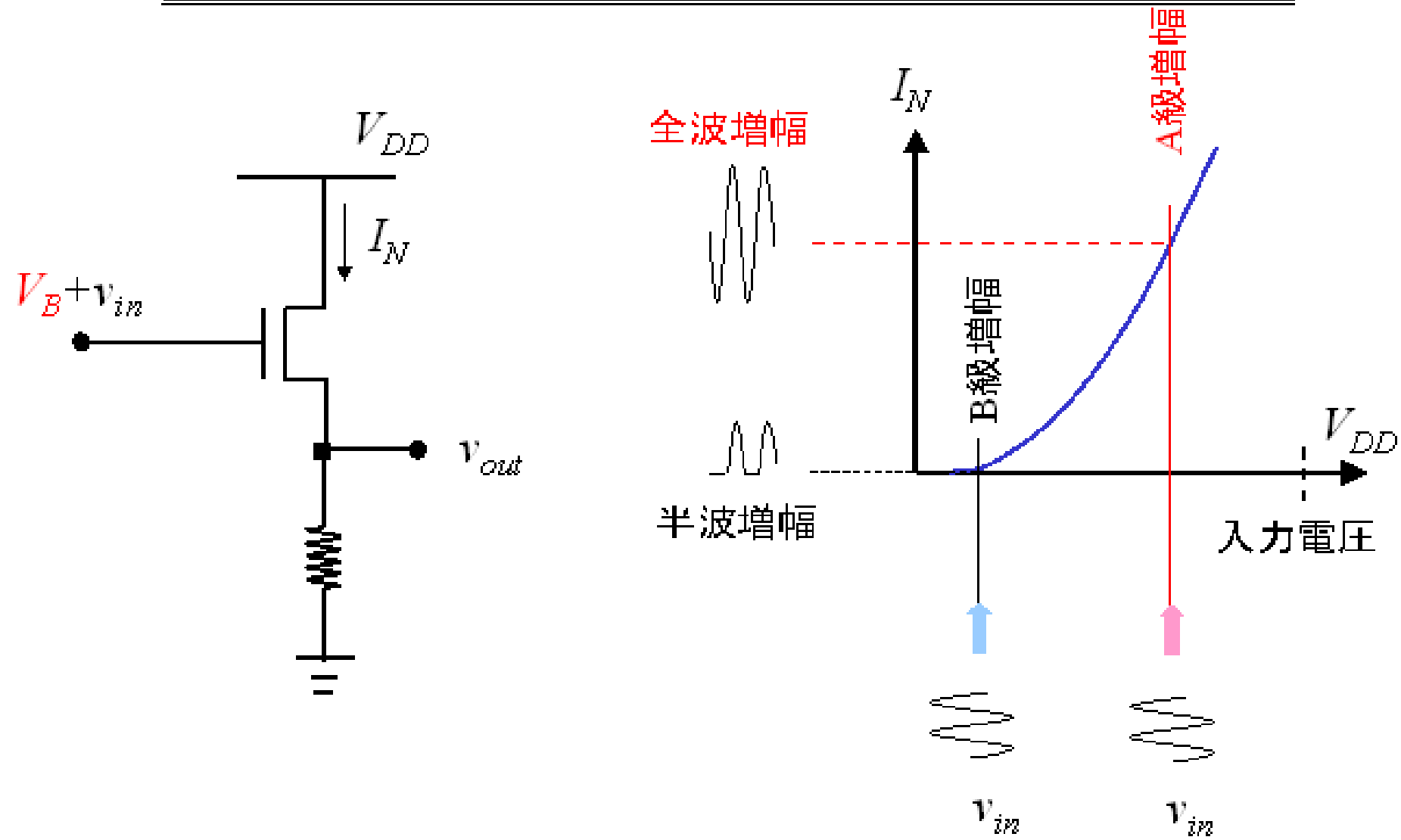
出力段(バッファ)の設計

- 1.出力段の種類
- 2.電圧シフト型出力段
- 3.ソース結合型出力段
- 4.その他の出力段

オペアンプの基本構造

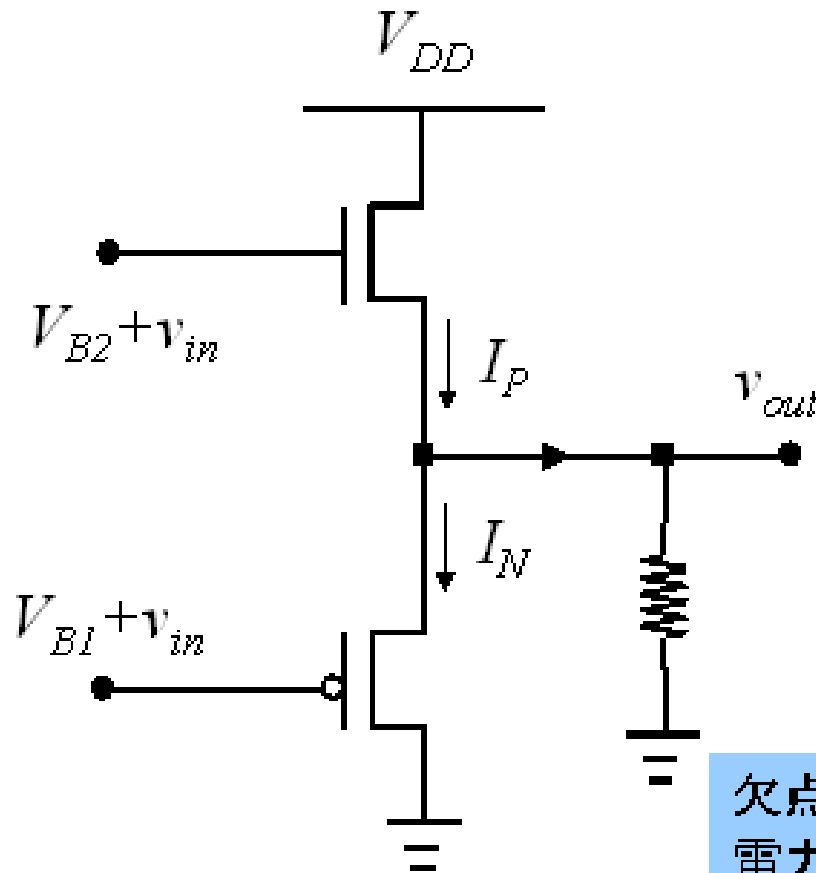


出力増幅回路の種類



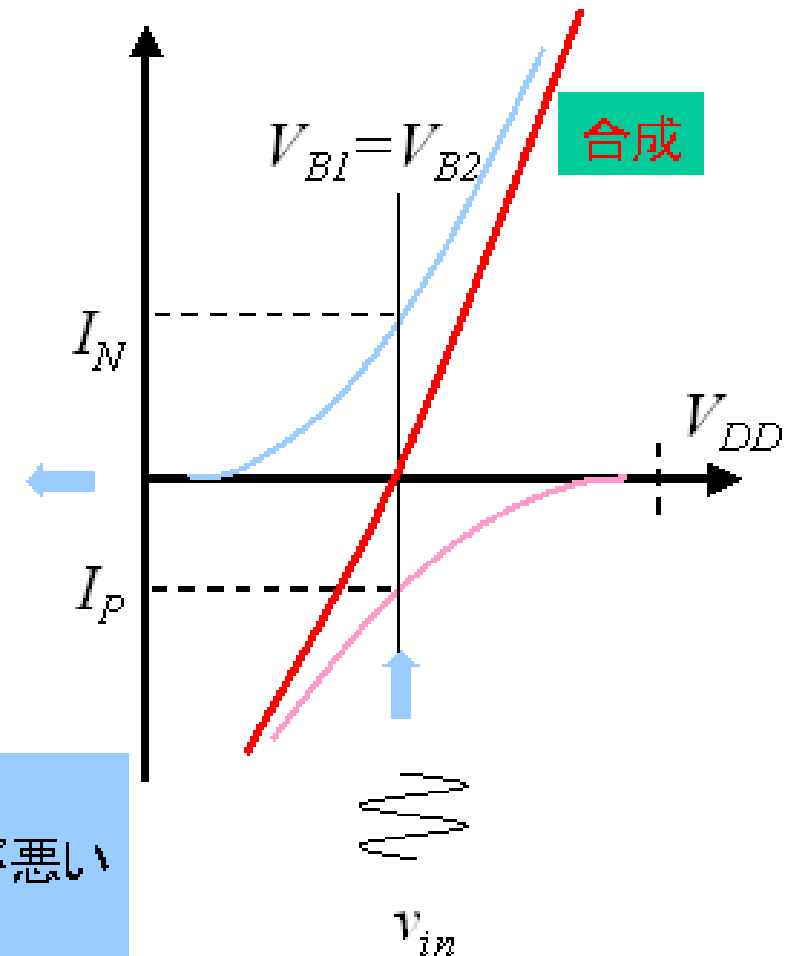
プッシュプル型出力増幅器の種類

A級增幅



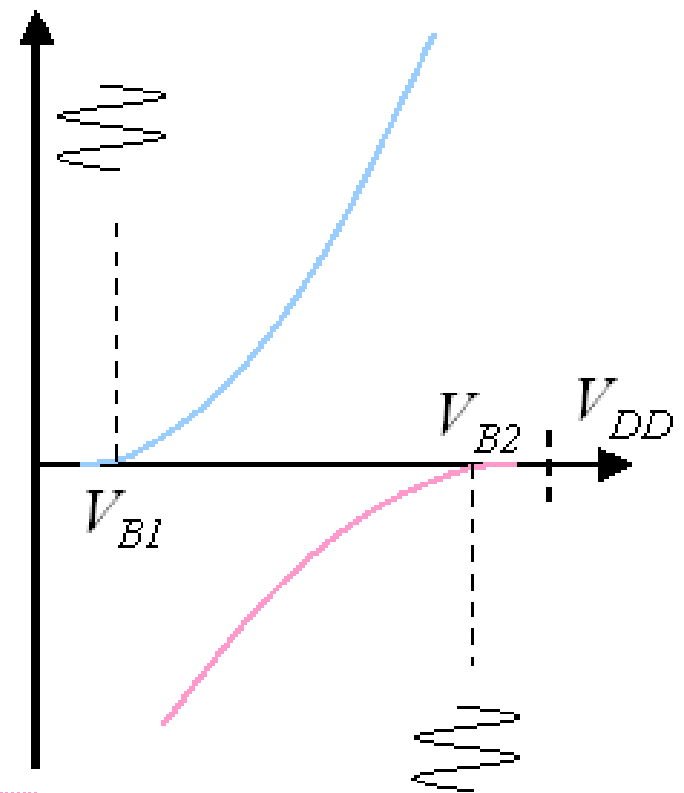
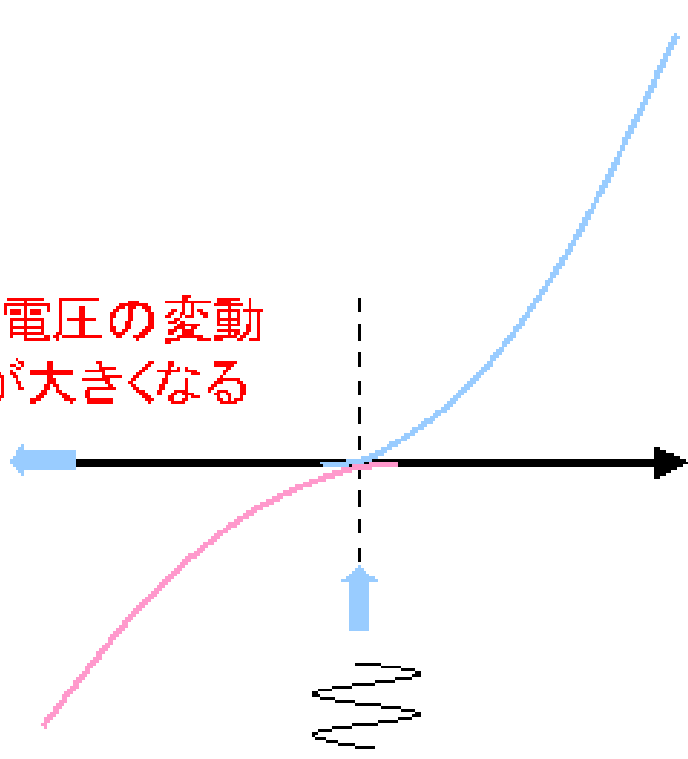
欠点:
電力効率が悪い

利点:
歪が小さい



B級 增幅

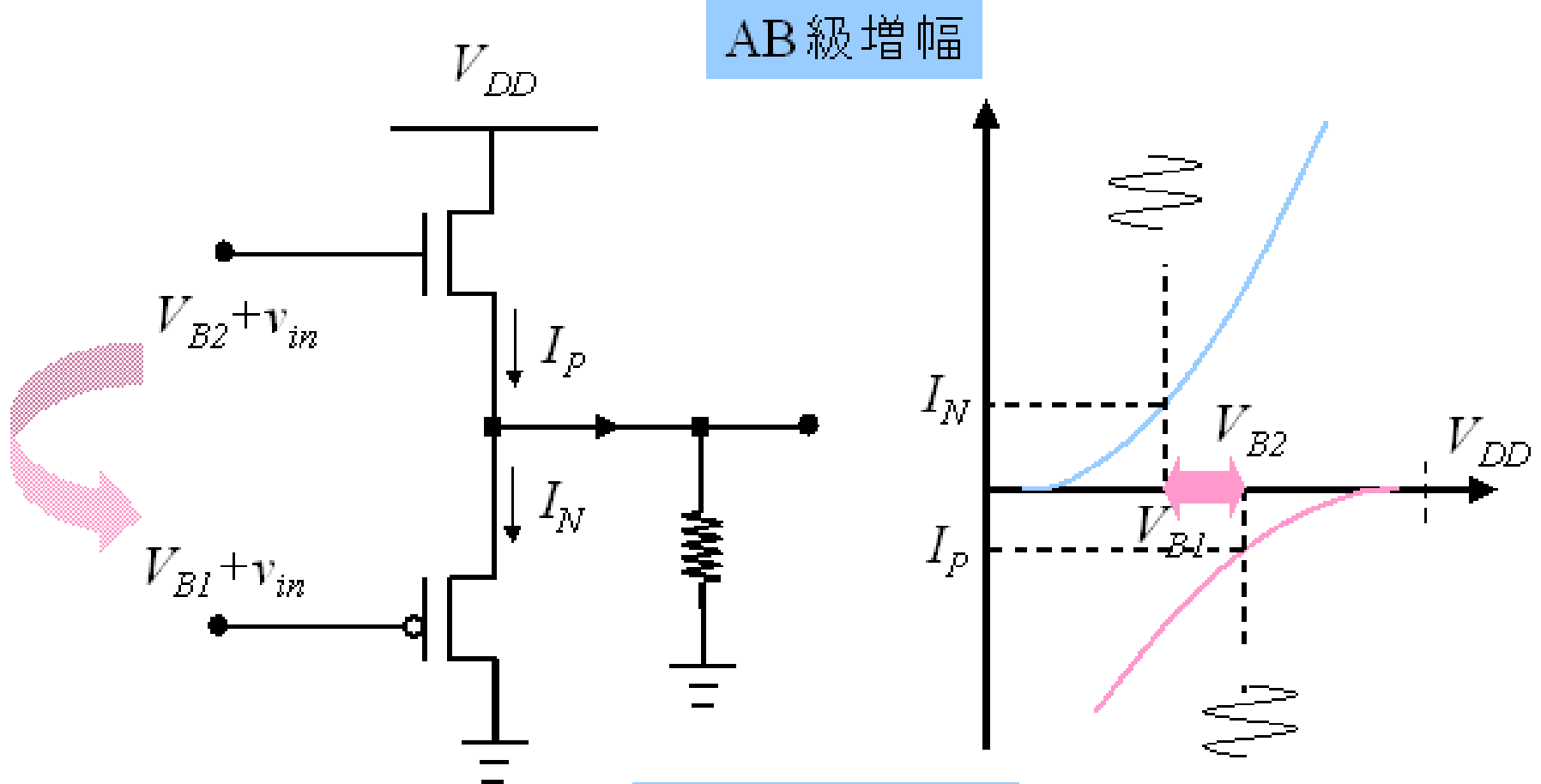
温度や電源電圧の変動
によって歪が大きくなる



欠点:
歪が大きい

利点:
電力効率が良い

バッファ段のバイアス点



電圧シフト型出力段

バッファ段へのバイアス電圧の与え方

$$I = \frac{\beta_n}{2} (V_{B2} - V_B - V_{Tn})^2 \rightarrow$$

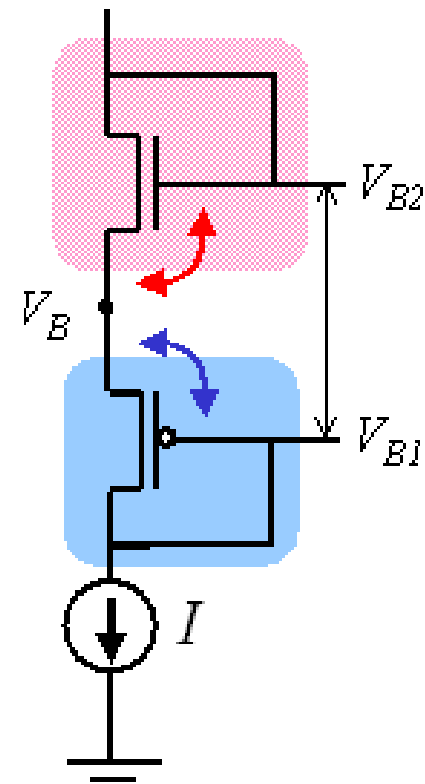
$$\sqrt{\frac{2I}{\beta_n}} = V_{B2} - V_B - V_{Tn}$$

$$I = \frac{\beta_p}{2} (V_{B1} - V_B - |V_{Tp}|)^2 \rightarrow$$

$$\sqrt{\frac{2I}{\beta_p}} = V_B - V_{B1} - |V_{Tp}|$$

ソースフォロア

$$\frac{V_{B2} - V_{B1}}{V_{B2} - V_B} = \frac{\sqrt{\frac{2I}{\beta_n}} + V_{Tn}}{\sqrt{\frac{2I}{\beta_p}} + |V_{Tp}|}$$



浮遊電池

電流 I を与えると固定電位となる

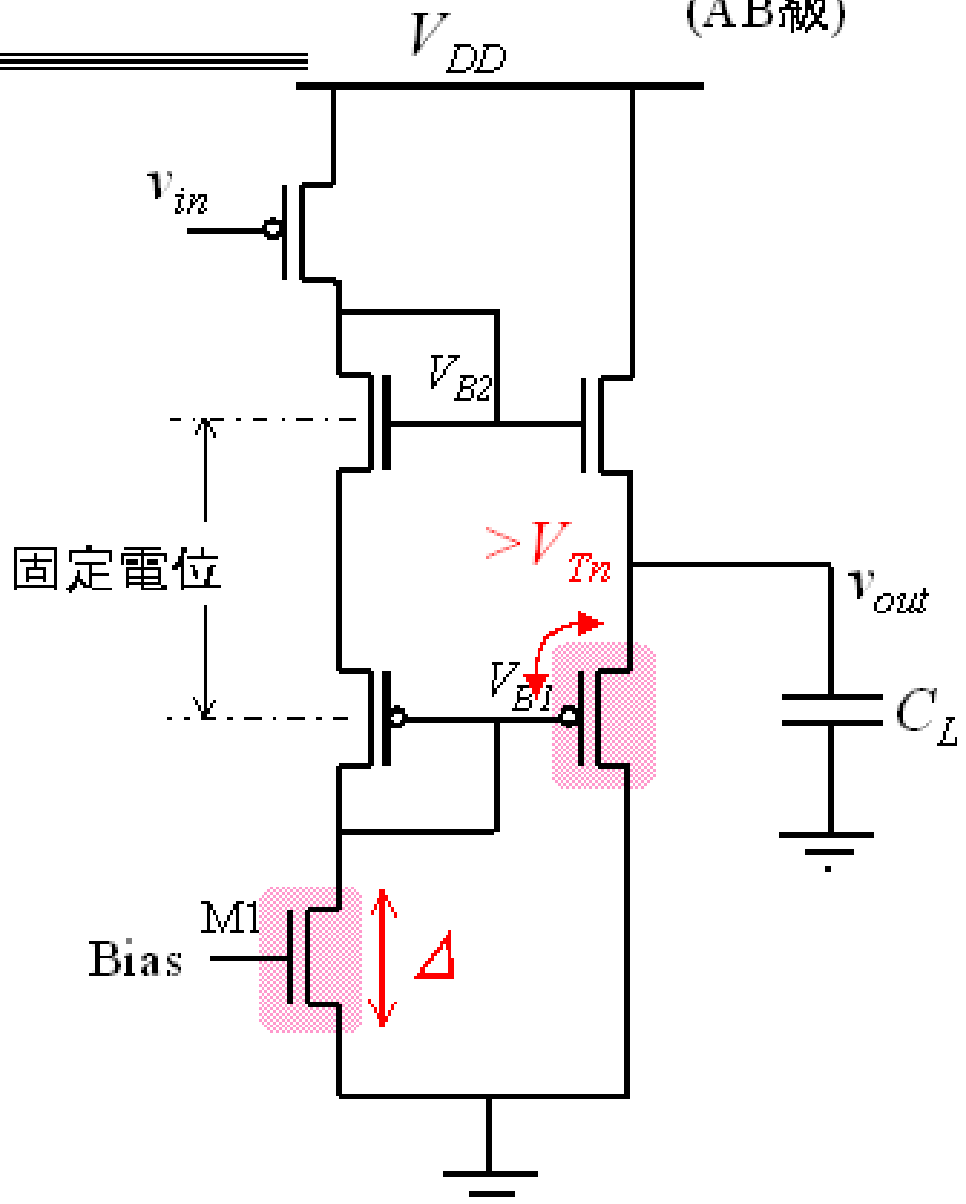
相補性ソースフォロア增幅回路 (浮遊電圧源)

バッファ増幅回路
(AB級)

$V_{B2} - V_{B1}$ の値によって
A, B, AB級に分類可

欠点: 出力電圧の振幅が制限

$$\Delta + |V_{Tp}| < V_{out} < V_{DD} - \Delta - V_{Th}$$

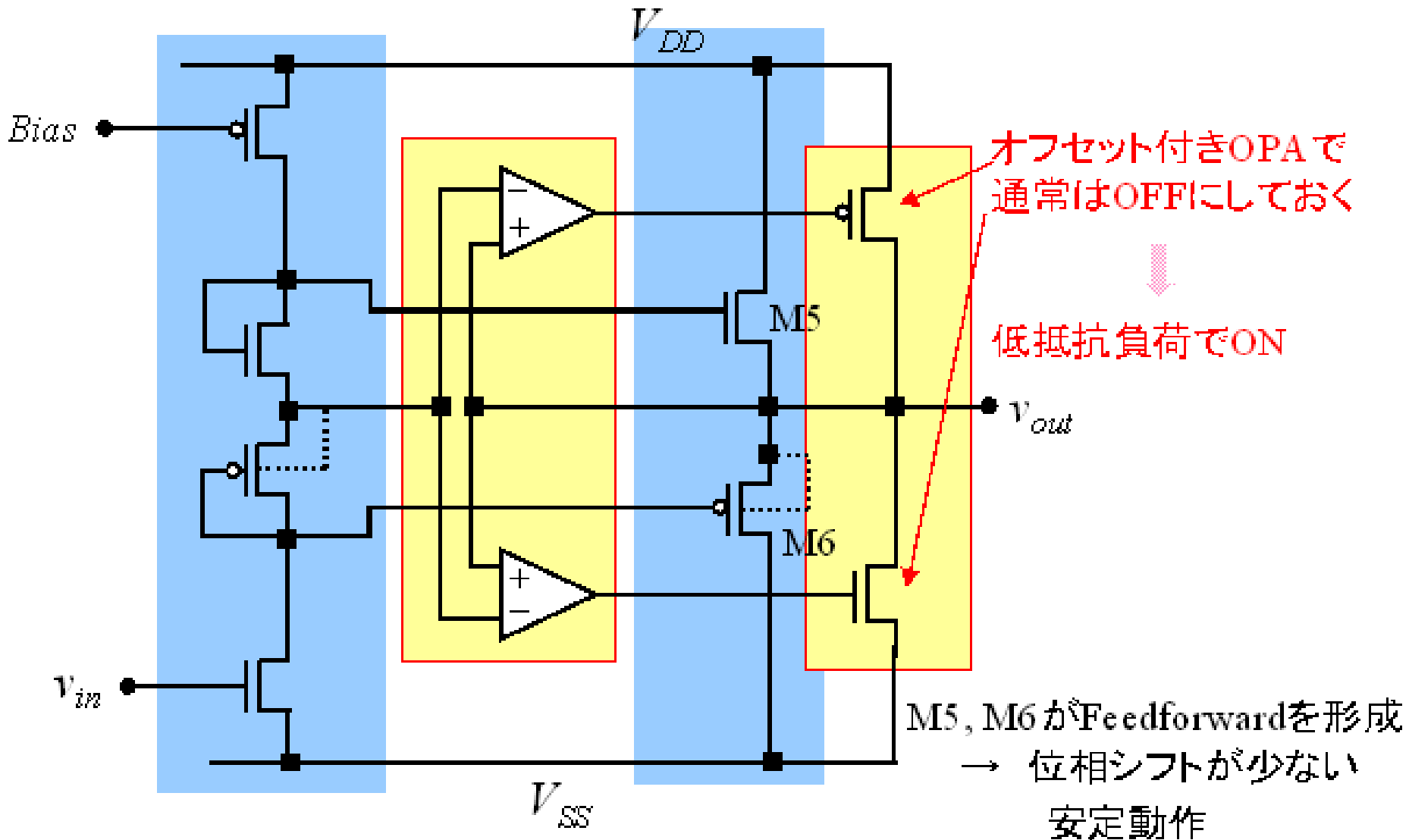


deleted based on copyright concern.

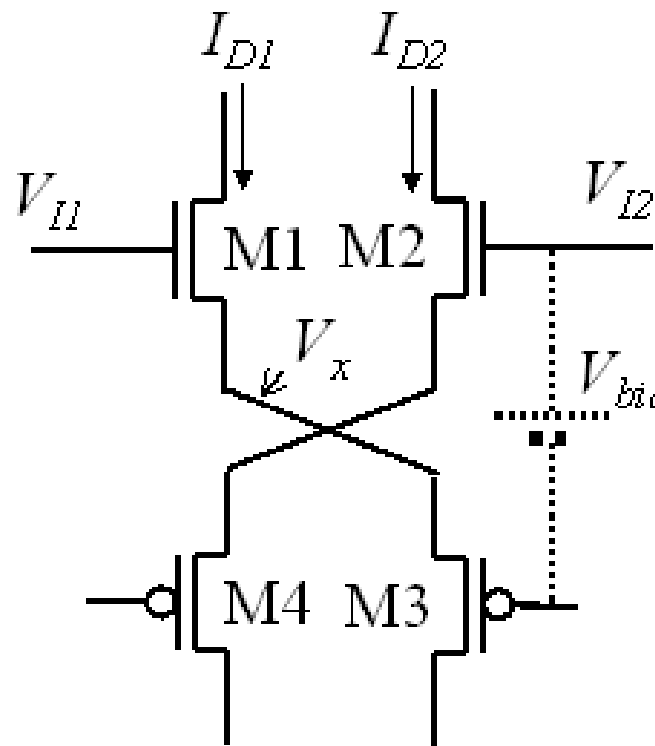
B.K.Ahuja, et al., IEEJ. Solid-state Circuits, SC-19,892(1984)

相補性ソースフォロア増幅回路 (浮遊電圧源)

擬似相補型出力バッファ OPアンプ使用



ソースクロス結合型差動増幅器



nMOSとpMOSが普段の位置を入れ替えている

$$V_{II} = \sqrt{\frac{2I_{D1}}{\beta_1}} + V_x + V_{Tp} \quad \leftarrow \quad I_{D1} = \frac{\beta_1}{2}(V_{II} - V_x - V_{Tp})^2$$

$$I_{D1} = \frac{\beta_3}{2}(V_x + V_{bias} - V_{I2} - V_{Tp})^2$$

$$V_x = \sqrt{\frac{2I_{D1}}{\beta_3}} - V_{bias} + V_{I2} + V_{Tp}$$

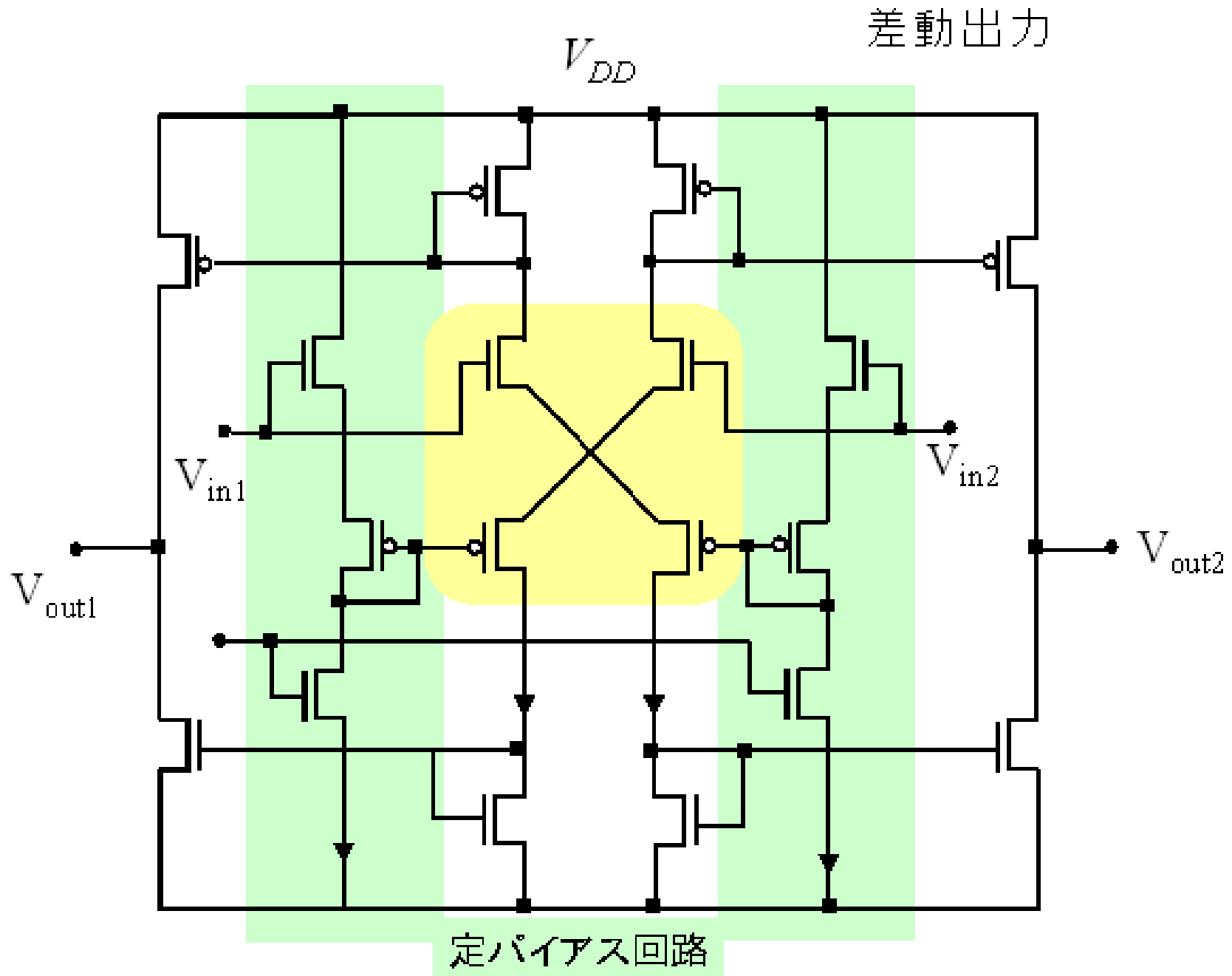
$$\therefore V_{II} - V_{I2} = \sqrt{2I_{D1}} \left(\frac{1}{\sqrt{\beta_1}} + \frac{1}{\sqrt{\beta_3}} \right) \boxed{V_{bias} + V_{Tp} + V_{Tp}}$$

直流分

差動入力電圧 → I_{D1} をモニターして得られる

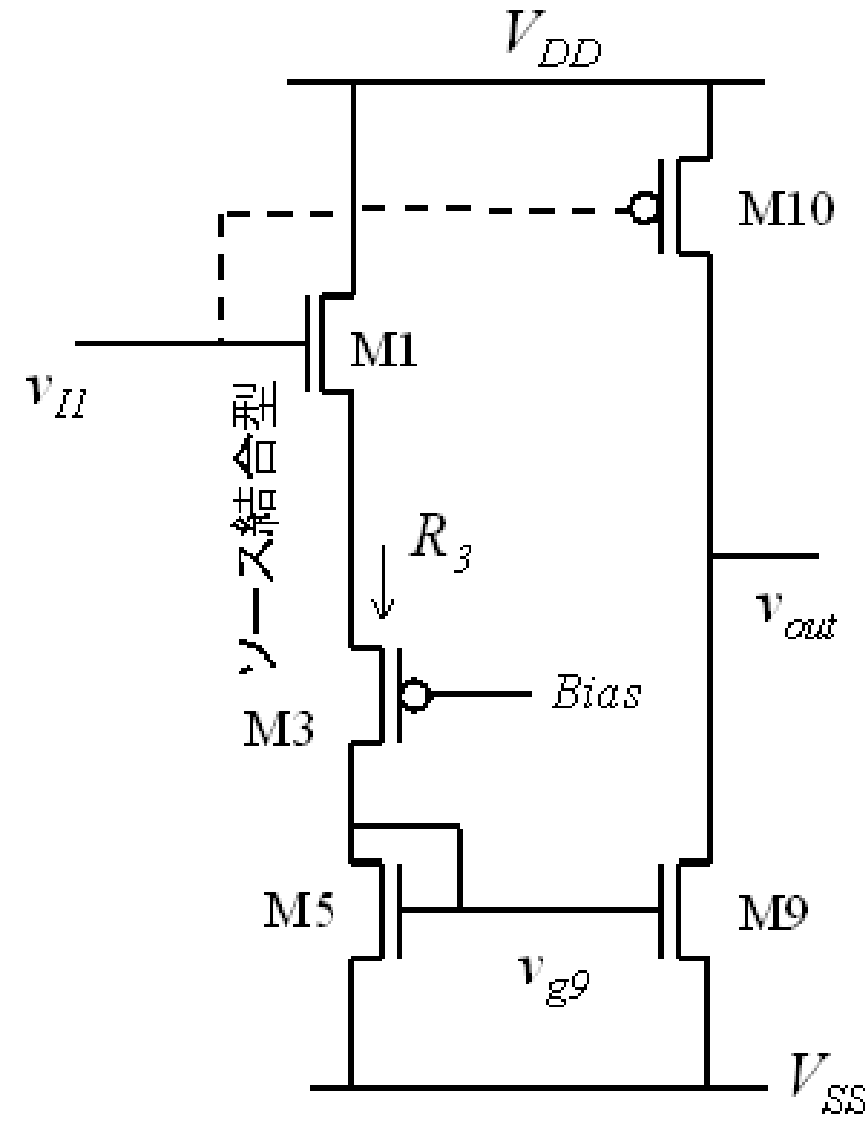
deleted based on copyright concern.

R.Castello and P.R.Gray, IEEEJ. Solid-state circuits, SC-20,1122(1985)



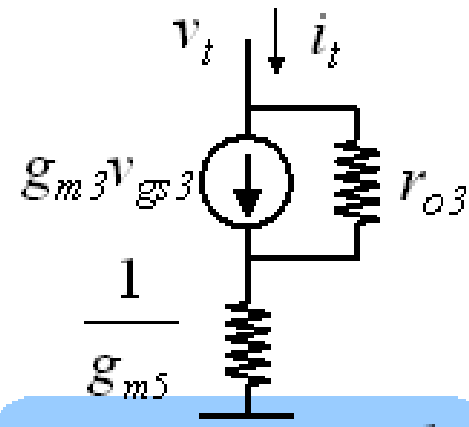
増幅率の見積もり

$$v_t = (i_t - g_{m3} v_{gs3}) r_{o3} + \frac{i_t}{g_{m5}}$$



$$v_{gs3} = v_t$$

$$R_3 = \frac{v_t}{i_t} = \frac{1}{g_{m3} + \frac{1}{r_{o3}}} \approx \frac{1}{g_{m3}}$$



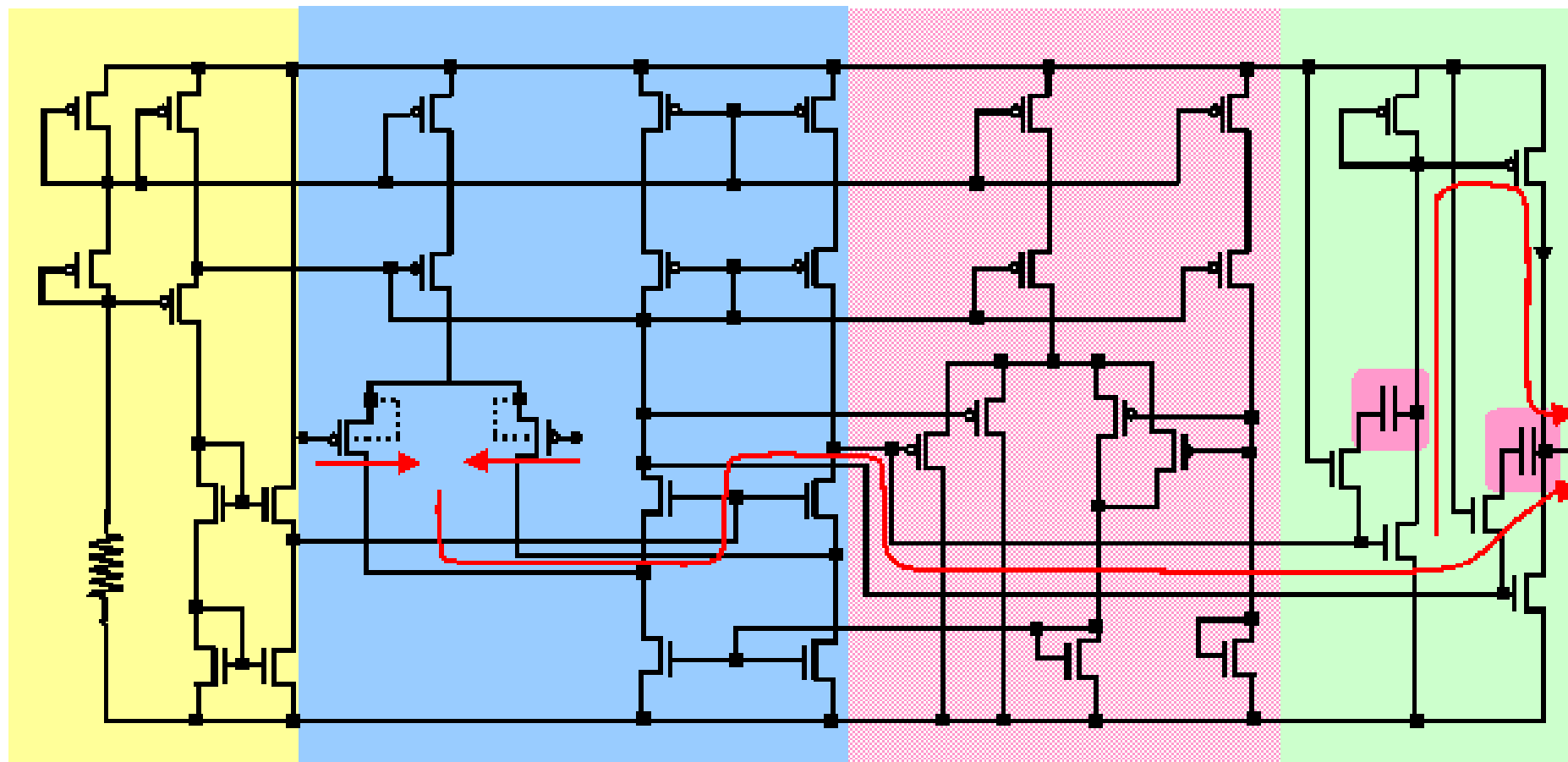
$$\frac{v_{gs9}}{v_{II}} = \frac{R_3}{\frac{1}{g_{m1}} + R_3} \cdot \frac{\frac{1}{g_{m5}}}{R_3} = \frac{\frac{g_{m1}}{g_{m5}}}{1 + \frac{g_{m1}}{g_{m3}}}$$

deleted based on copyright concern.

J.N.Babanezhad and R. Gregorian, IEEEJ. Solid-state circuits, SC-22, 1080(1987)

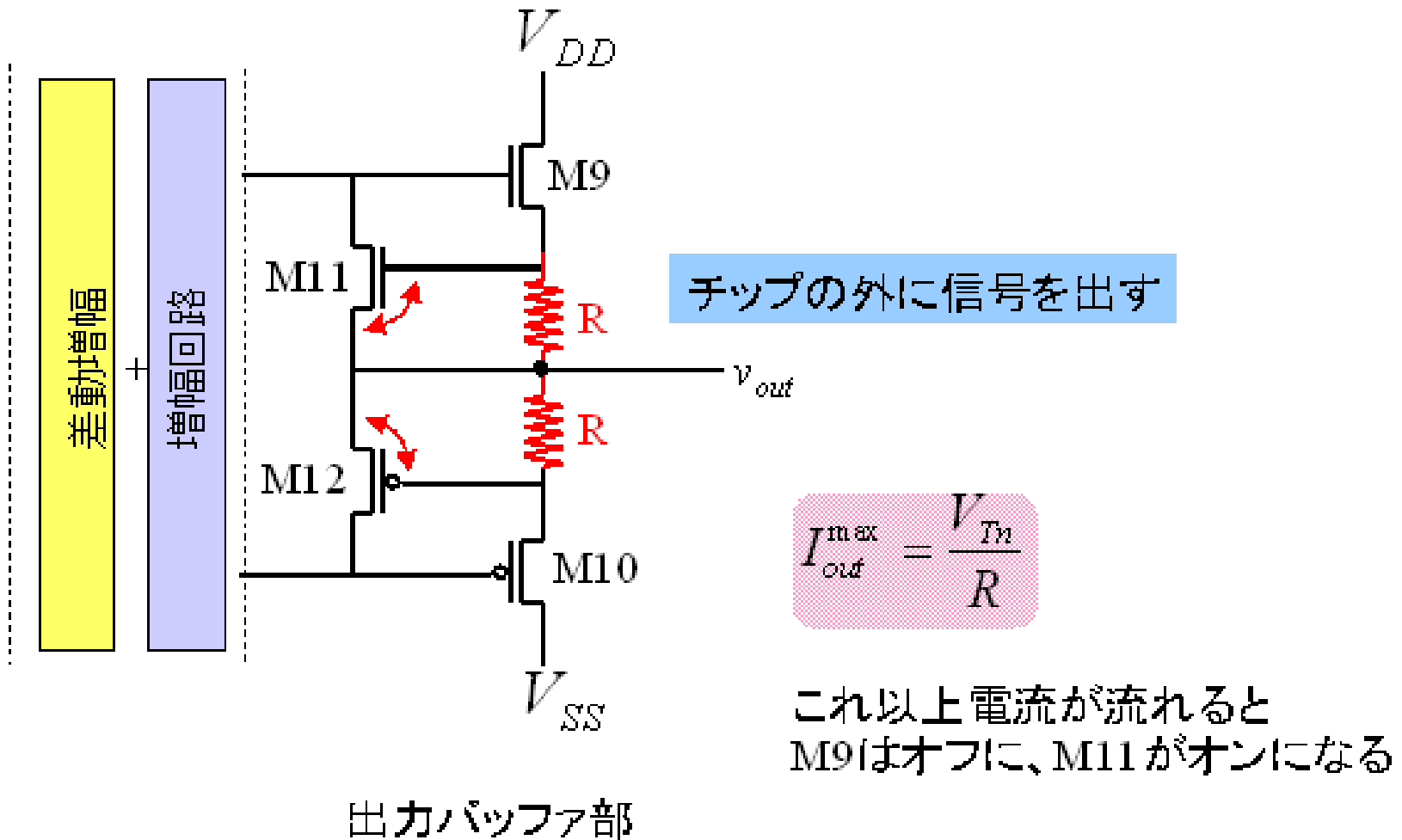
deleted based on copyright concern.

J.N.Babanezhad, IEEEJ. Solid-state circuits, SC-23,1414(1988)



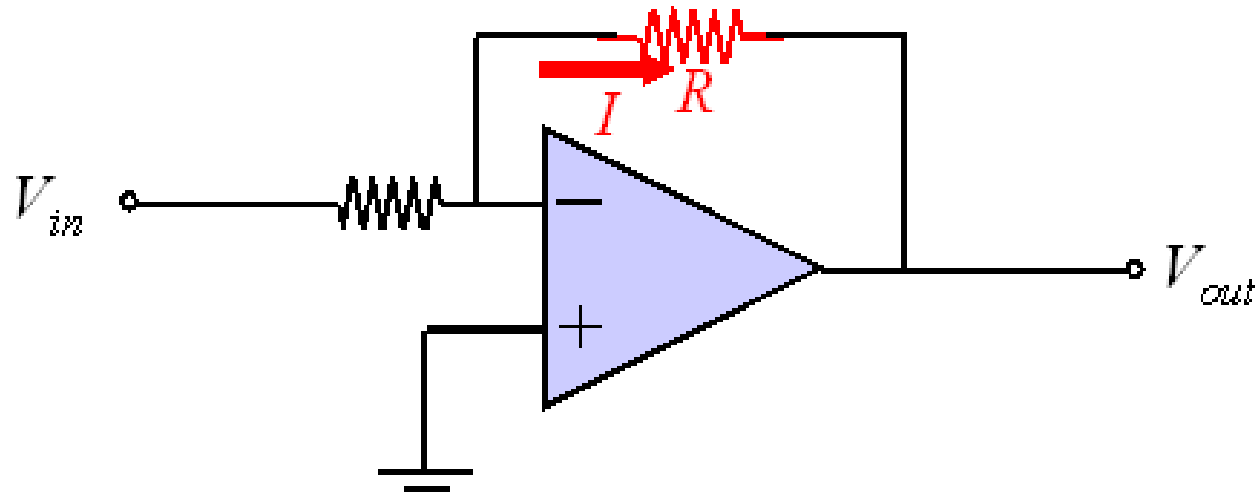
OPA設計時に注意すべき点

出力保護回路 (出力端子短絡保護)



OPA使用上の注意

発熱による高調波歪の発生



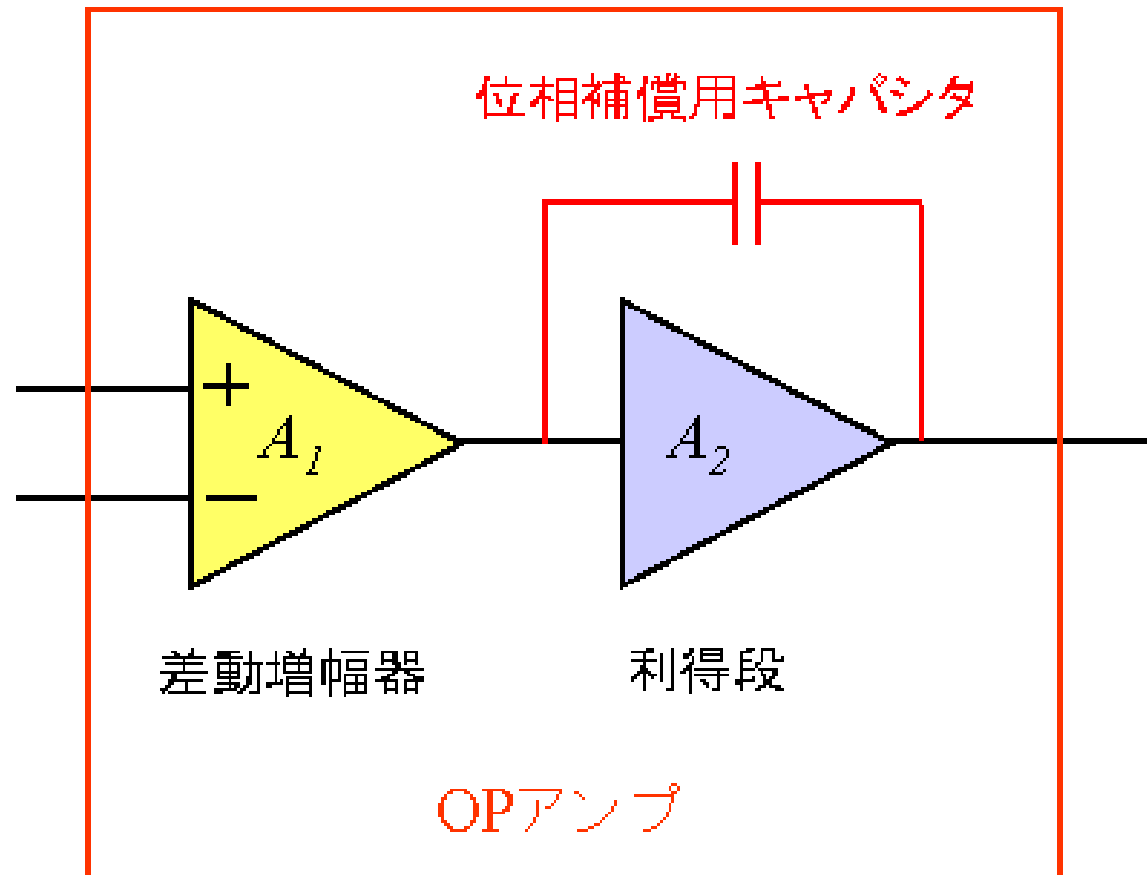
$$V_{out} = IR = IR_0(1 + \alpha\Delta T) = IR_0(1 + \alpha\beta I^2 R)$$

$$\therefore \Delta T = \beta I^2 R$$

$$V_{out} = A(V_{in} + \gamma V_{in}^3)$$

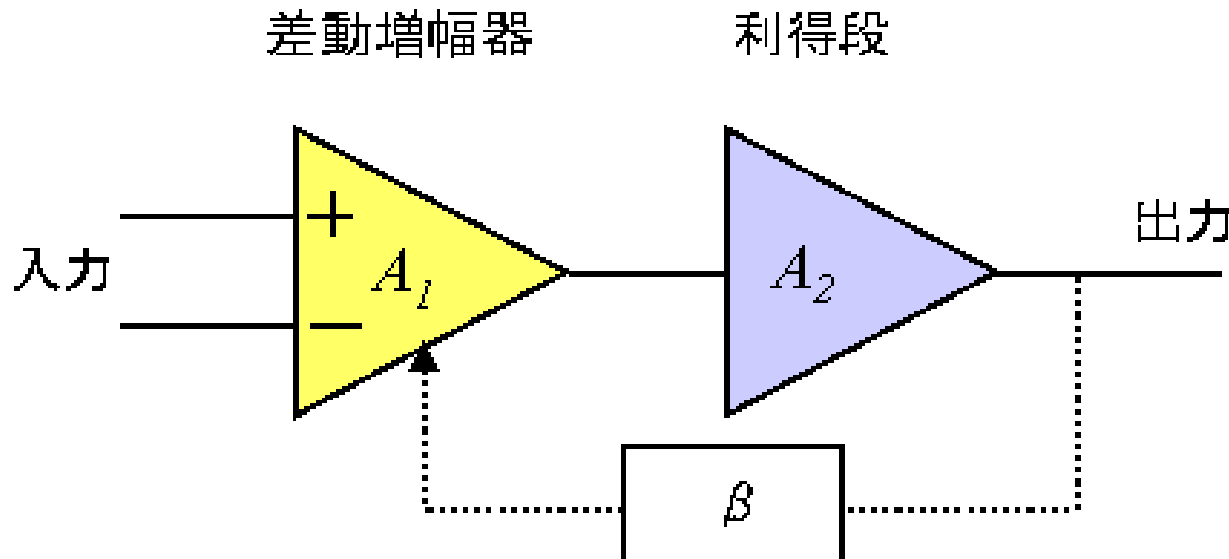
3次の高調波歪が顕著に現れる

オペアンプの位相補償



位相補償の考え方

安定動作を保証



$$A_c = \frac{A_o}{1 + \beta A_o}$$

開ループ利得 A_o が大きく、
入出力の位相が逆転していると
微量のフィードバックでも発振する
($A_c \rightarrow \infty$): 正帰還

これを回避する方策が位相補償

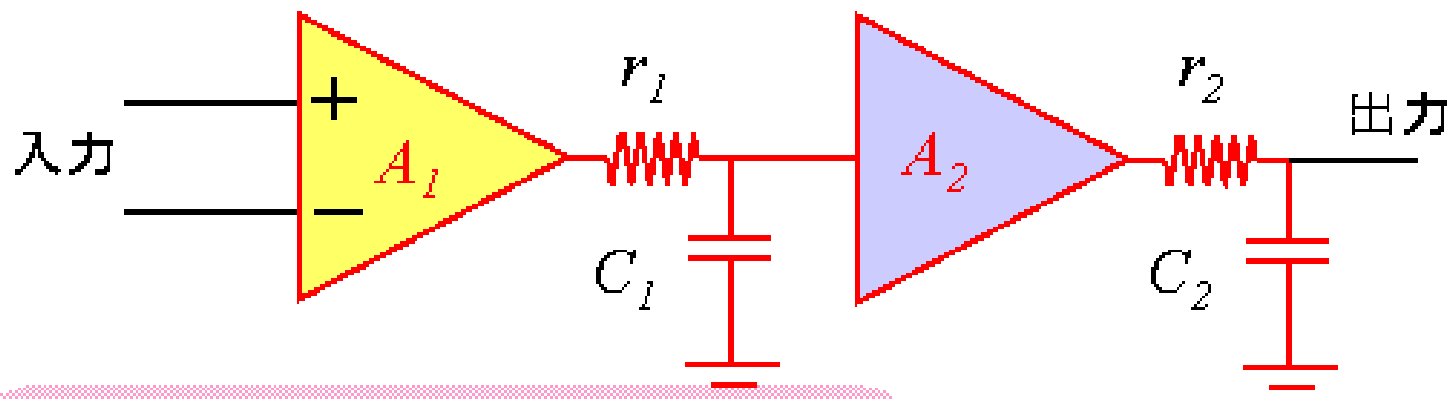
2段増幅回路の伝達関数

$$\frac{1}{1 + \frac{s}{\omega_1}}$$

$$\leftarrow \omega_1 = \frac{1}{r_1 C_1}$$

$$\frac{1}{1 + \frac{s}{\omega_2}}$$

$$\leftarrow \omega_2 = \frac{1}{r_2 C_2}$$



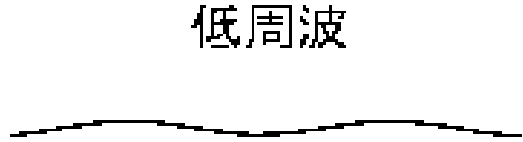
オープンループ利得

$$A_O(s) = \frac{A_1}{1 + \frac{s}{\omega_1}} \cdot \frac{A_2}{1 + \frac{s}{\omega_2}}$$

$$s \rightarrow j\omega$$

周波数が高くなると...
位相が遅れ、振幅が減る

低周波

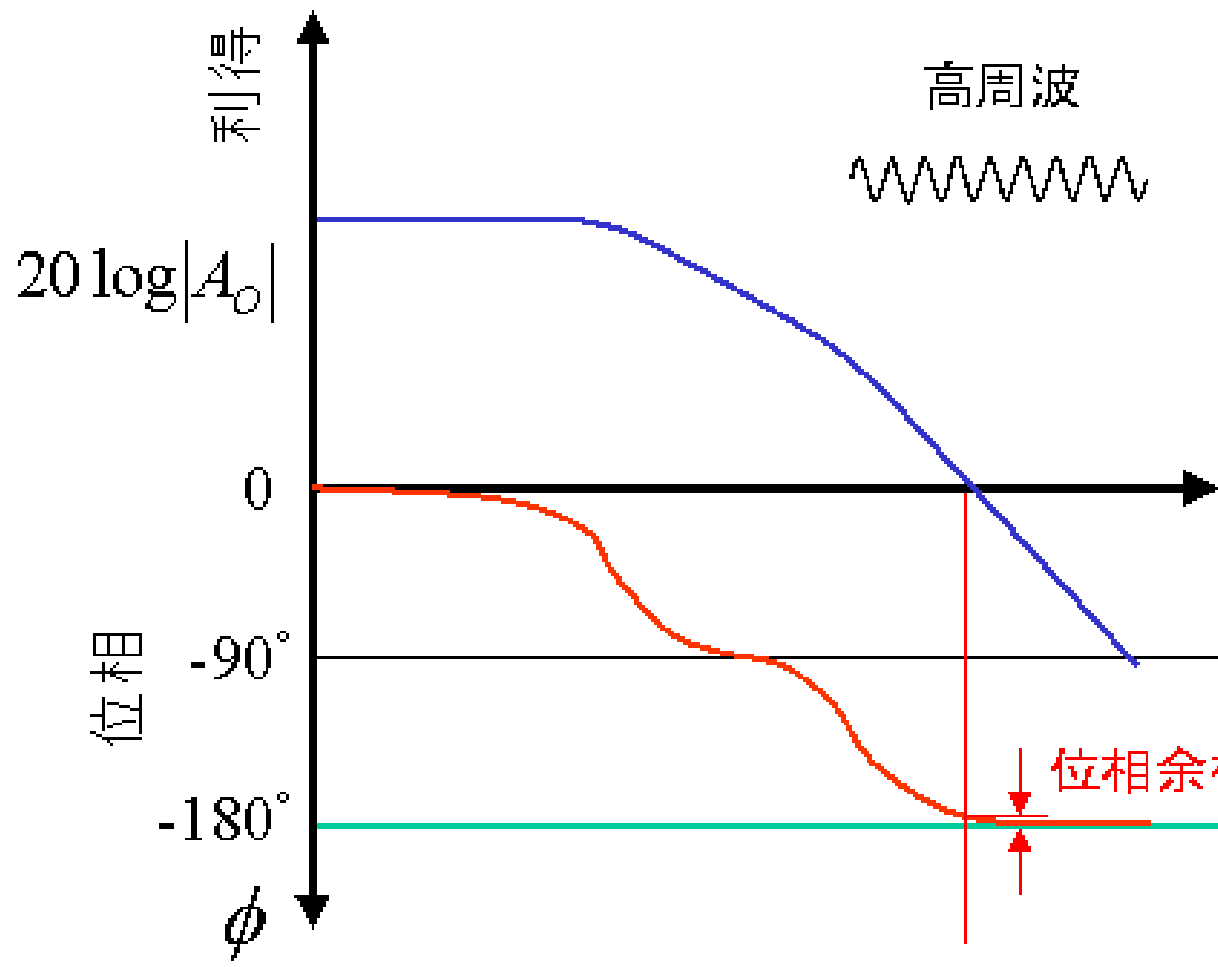


- ・振幅増大
- ・同位相

高周波

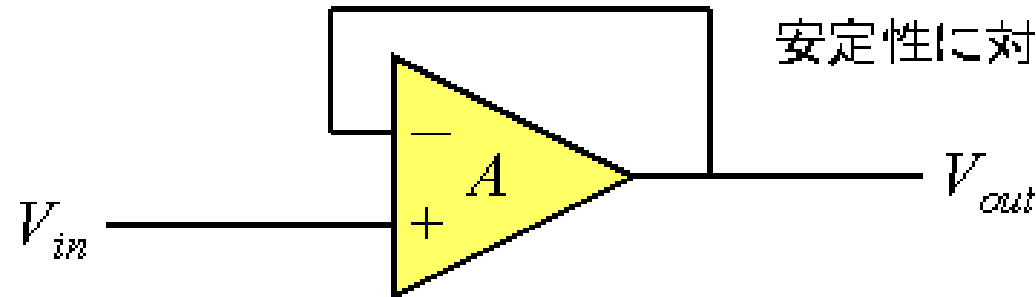


- ・振幅減少
- ・位相反転

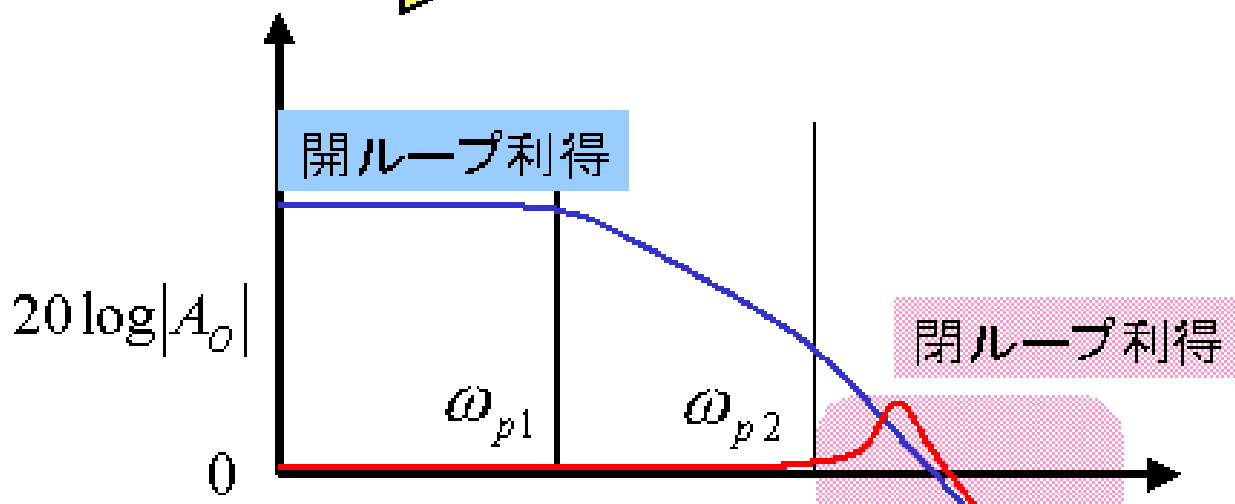


安定動作のためには60°
以上の位相余裕が望ましい

ユニティゲインバッファ

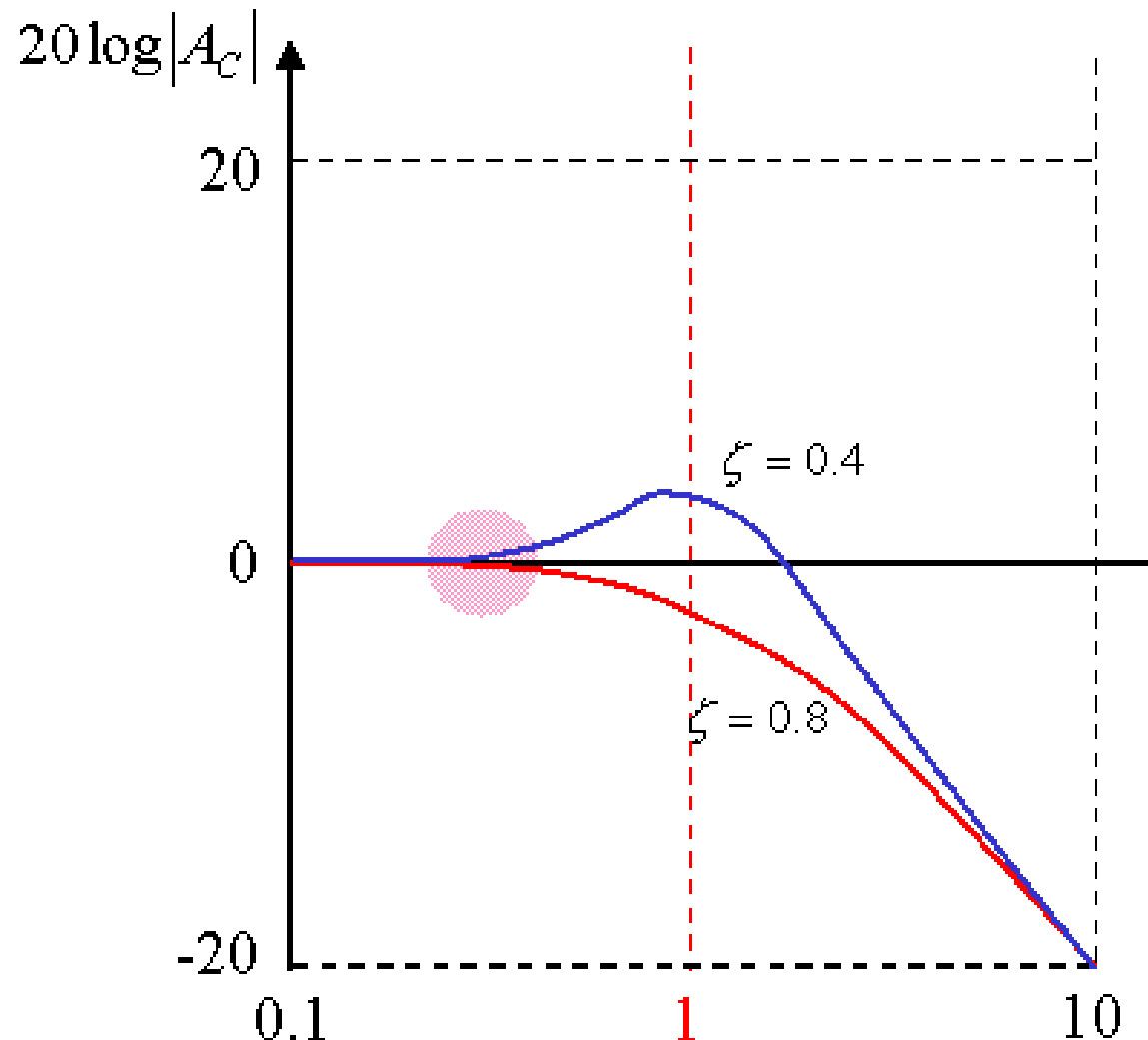


安定性に対して最も厳しい条件



$$A(s) = \frac{A_o}{(I + \frac{s}{\omega_{p1}})(I + \frac{s}{\omega_{p2}})} \xrightarrow{\text{ブロック線図}} A_C(\omega) = \frac{A_o}{I + A_o} \approx \frac{1}{I + j \frac{\omega}{A_o \omega_{p1}} + j^2 \frac{\omega^2}{A_o \omega_{p1} \omega_{p2}}}$$

ユニティゲインバッファの周波数応答



$$A_C(\omega) \approx \frac{1}{1 + j2\zeta \frac{\omega}{\omega_{ref}} - \left(\frac{\omega}{\omega_{ref}}\right)^2}$$

$$\text{ただし、 } \omega_{ref} = \sqrt{A_o \omega_{p1} \omega_{p2}}$$

$$\frac{\omega}{\omega_{ref}}$$

$$\zeta = \frac{1}{2} \sqrt{\frac{\omega_{p2}}{A_o \omega_{p1}}}$$

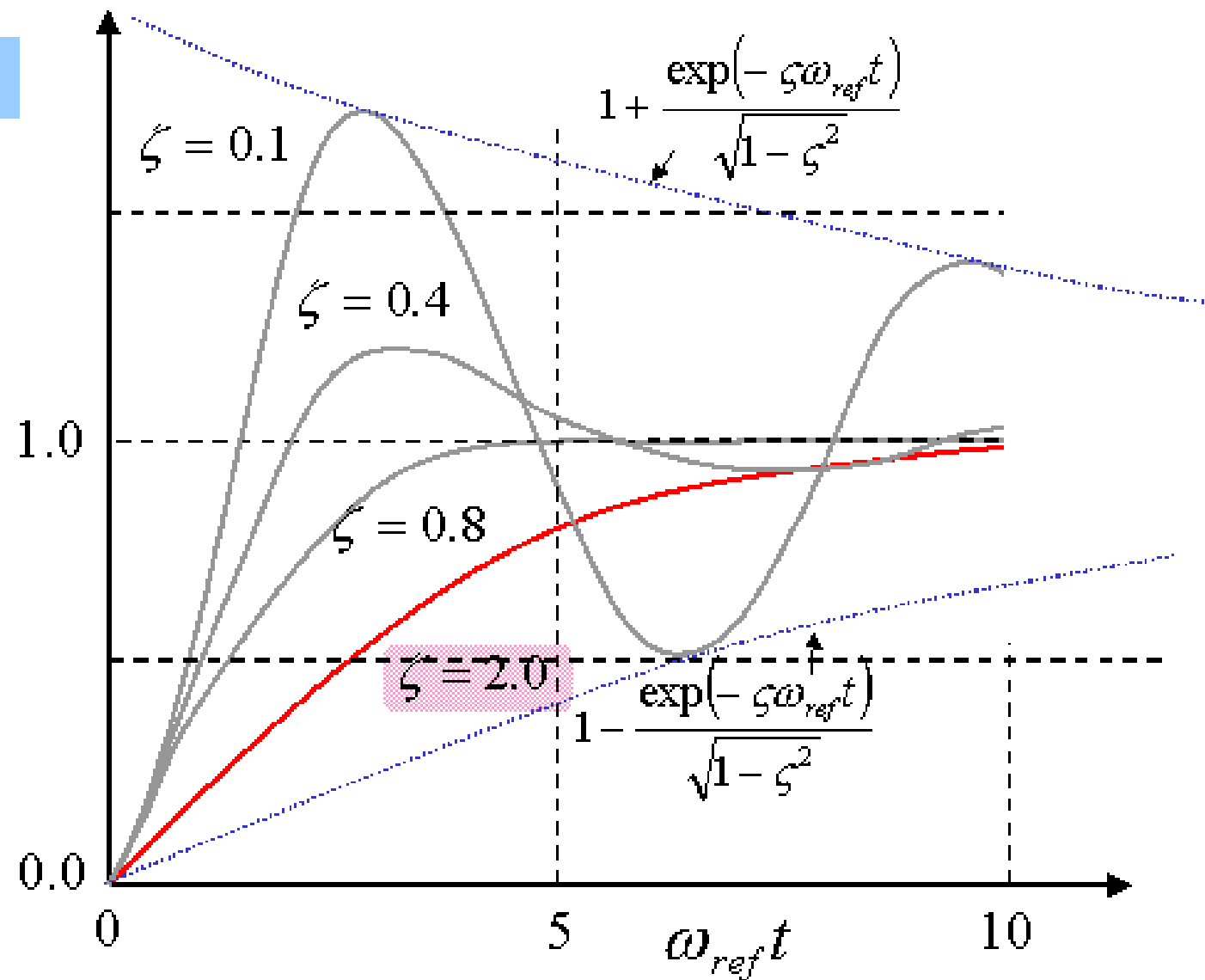
ユニティゲインパックファの閉ループ利得・位相余裕

$$A_C(\omega) \approx \frac{1}{1 + j2\zeta \frac{\omega}{\omega_{ref}} + j^2 \left(\frac{\omega}{\omega_{ref}} \right)^2}$$

位相余裕(°)	$\zeta = \frac{1}{2} \sqrt{\frac{\omega_{p2}}{A_v \omega_{p1}}}$	ピーク値 = $\frac{1}{2\zeta \sqrt{1 - \zeta^2}}$
27	0.35	3.6
45	0.5	1.2
63	0.71	0.0

ユニティゲインパックファの過渡応答特性

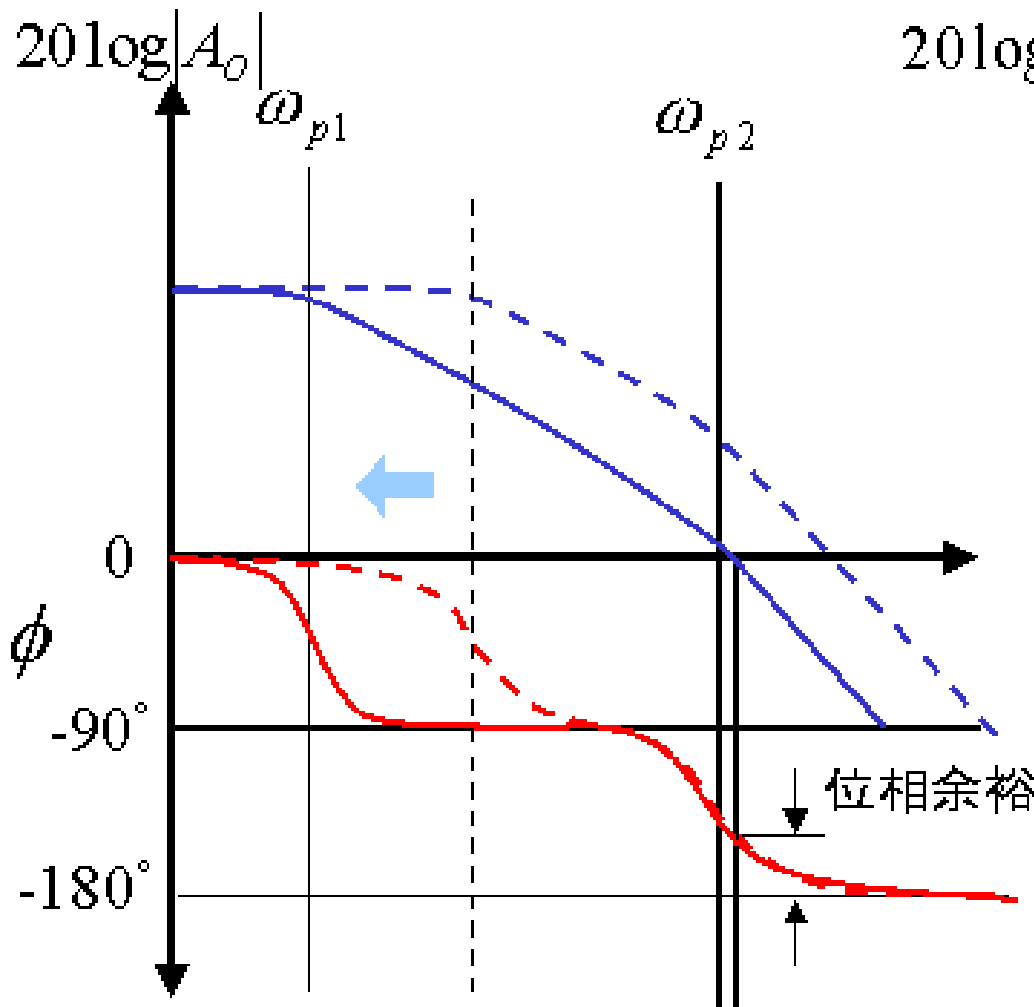
ステップ入力



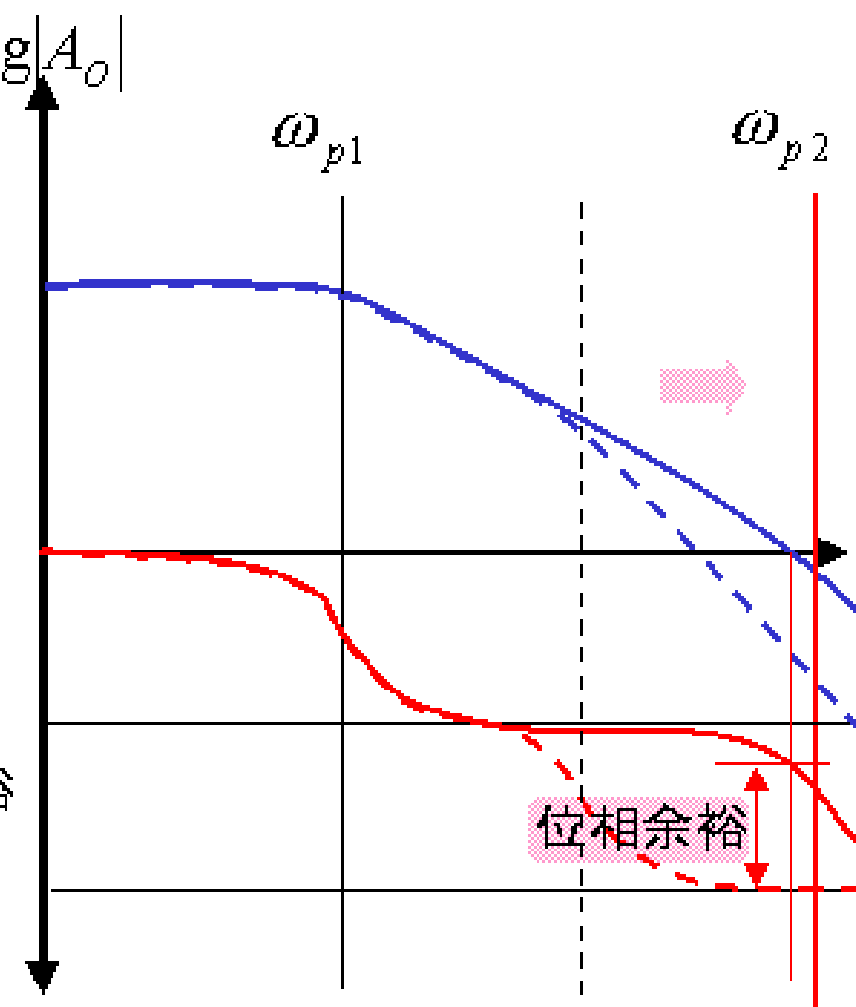
オペアンプの安定性向上策

位相余裕を稼ぐ方法

極分離法



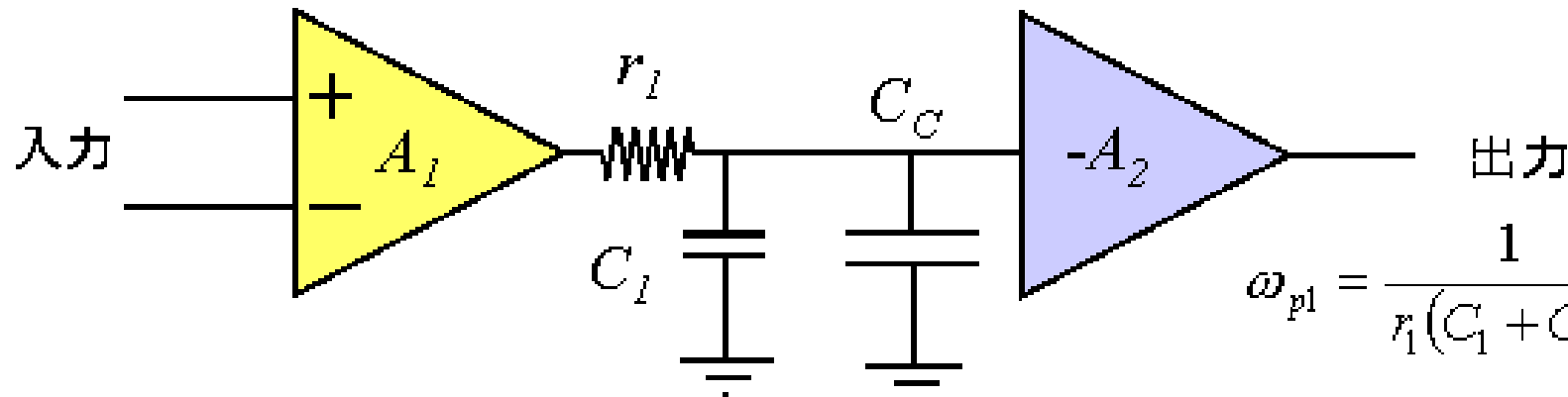
ω_{p1} を下げる



ω_{p2} を上げる

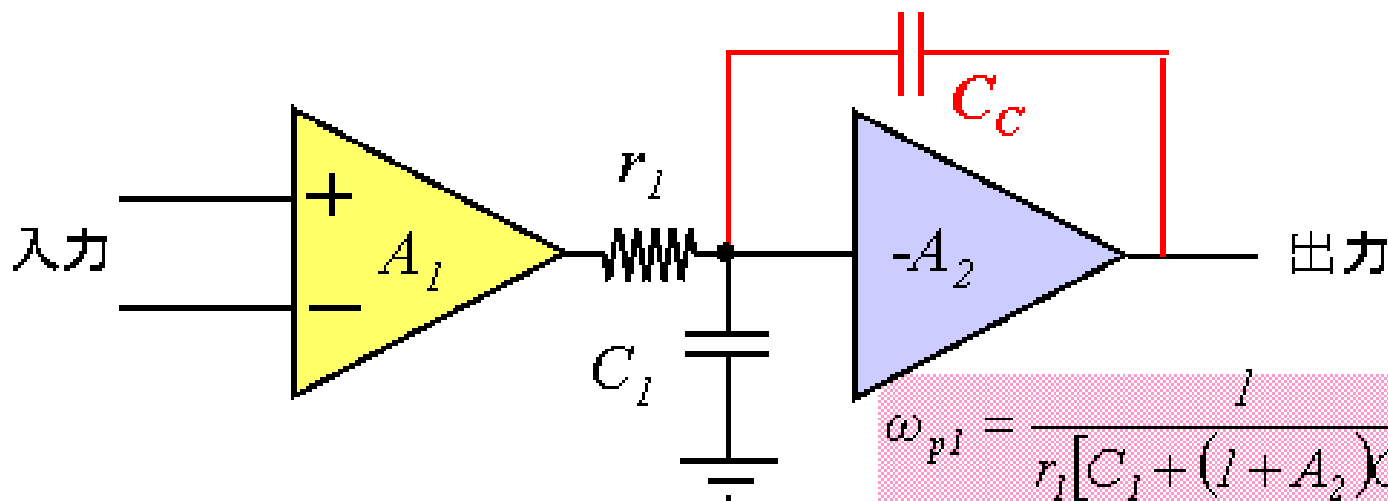
ω_{pl} を下げる方法

第1次近似モデル

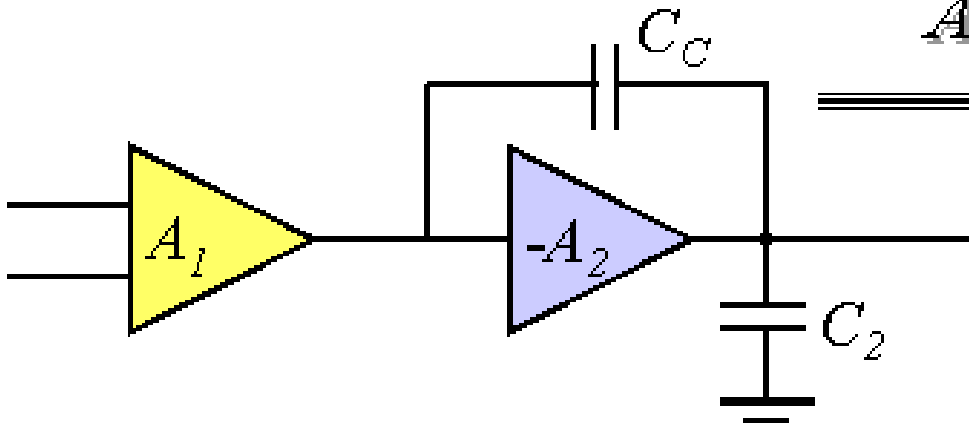


大きなキャパシタンス?? → ミラー効果を活用

比較的小さなキャパシタンスでOK



A_2 の周波数特性を考慮



第2次近似モデル

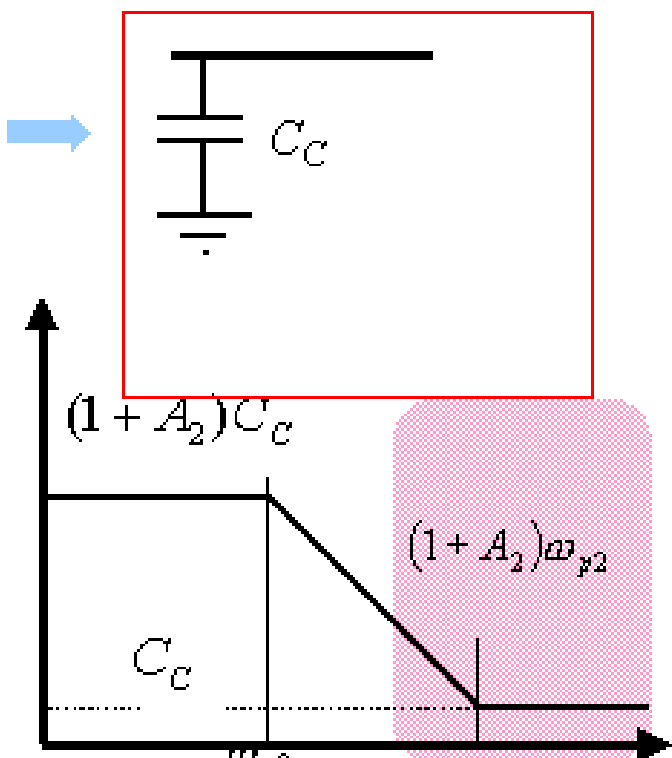
ミラー入力容量

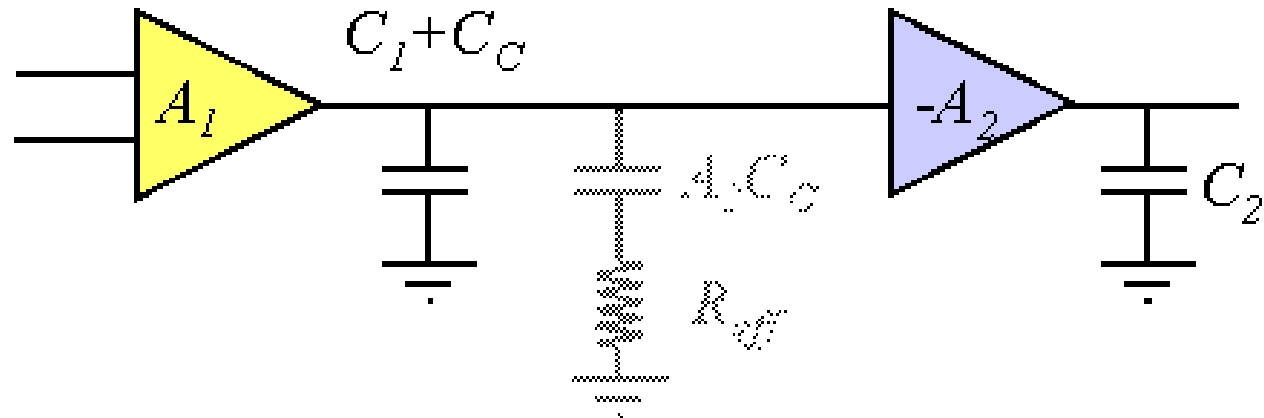
$$Y_{\text{eff}} = j\omega(1 + A_2(\omega))C_C = j\omega \left(1 + \frac{A_2}{1 + \frac{j\omega}{\omega_{p2}}} \right) C_C$$

$$\because A_2(\omega) = \frac{A_2}{1 + \frac{j\omega}{\omega_{p2}}}$$

$$R_{\text{eff}} = \frac{1}{A_2 C_C \omega_{p2}}$$

実効容量

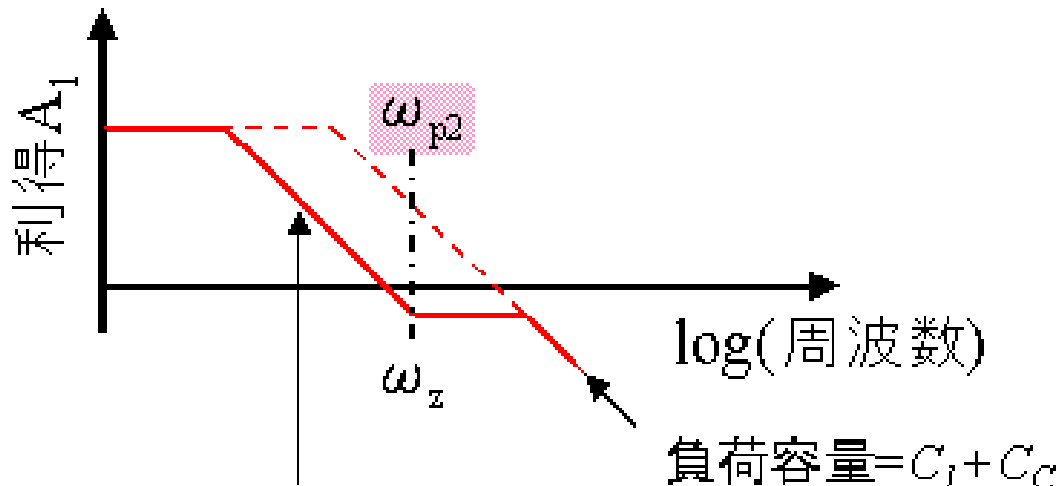




$$R_{eff} = \frac{1}{A_2 C_C \omega_{p2}}$$

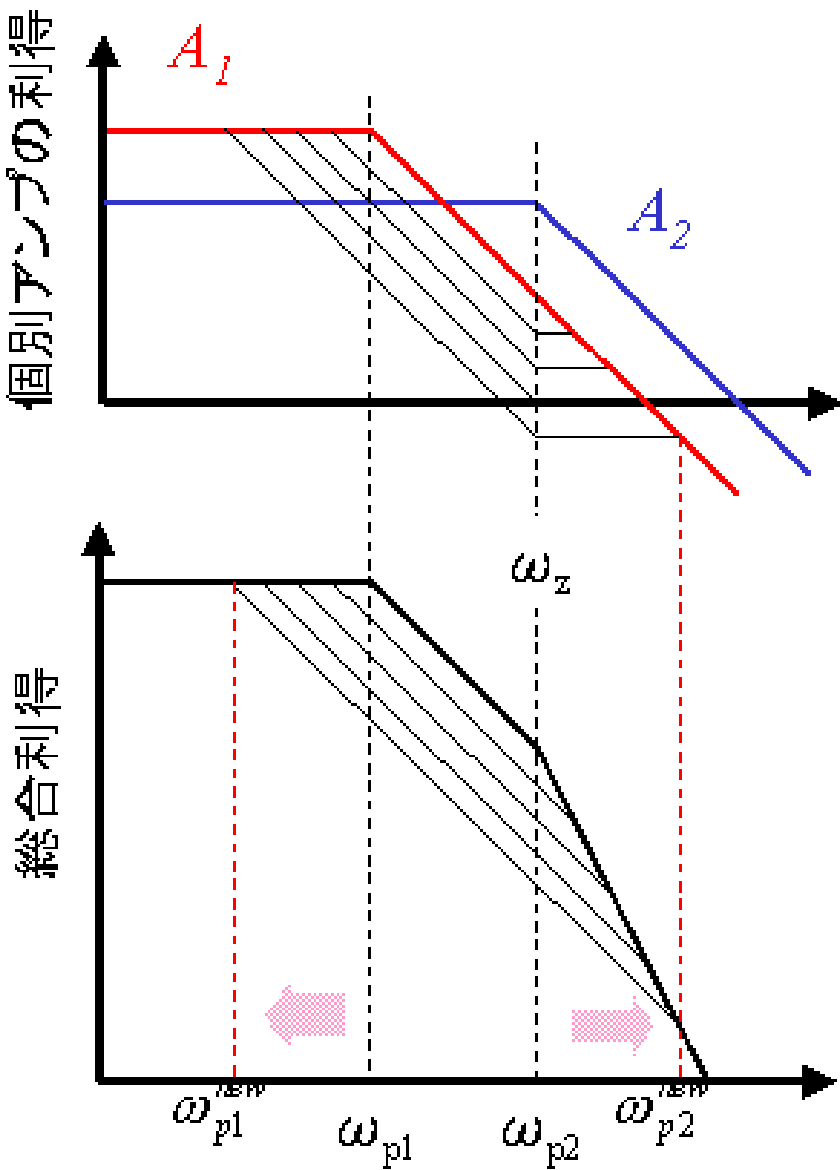
$$\omega_z = \frac{1}{R_{eff} A_2 C_C} = \omega_{p2}$$

正確に一致している

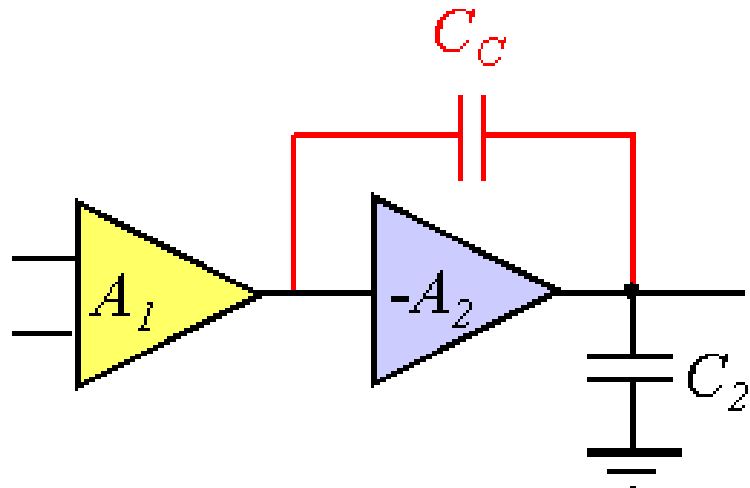


$$\text{負荷容量} = C_I + (1 + A_2) C_C$$

極分離法

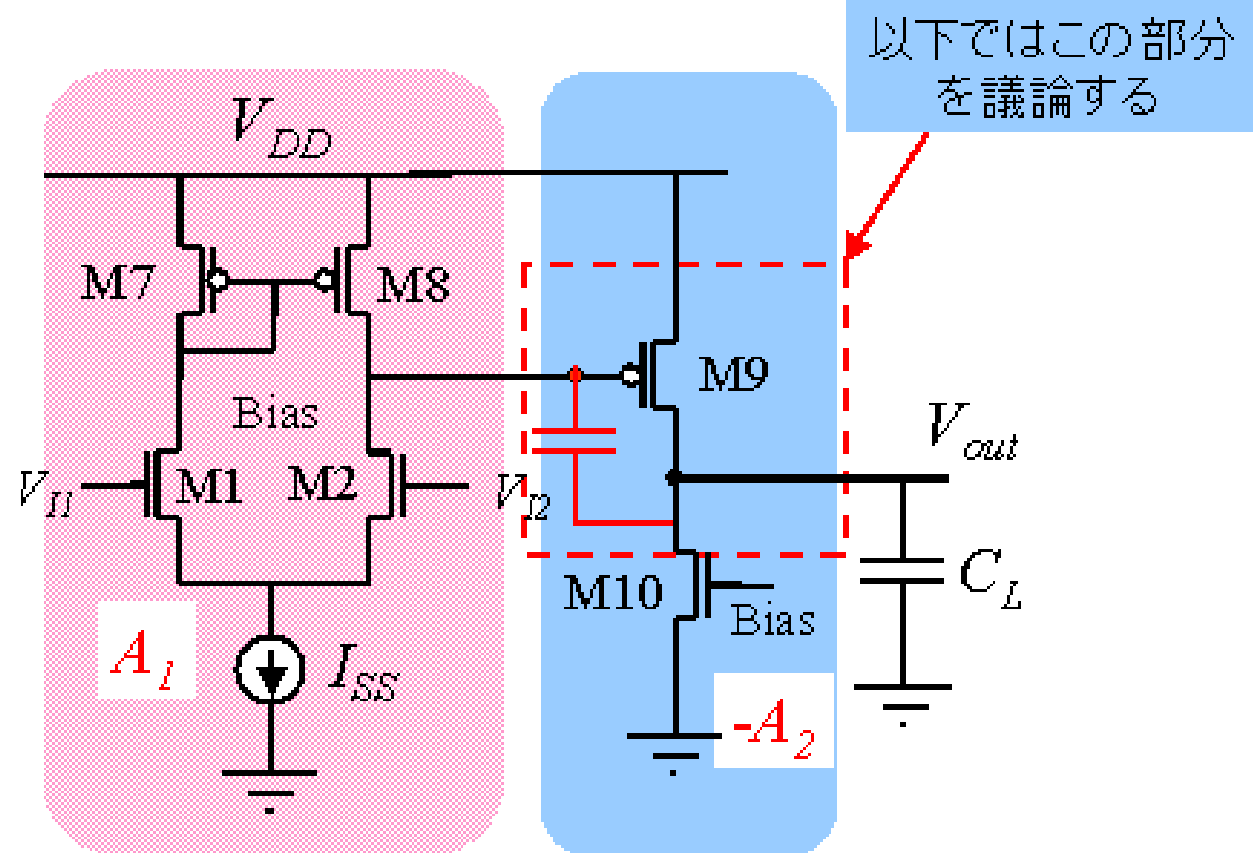


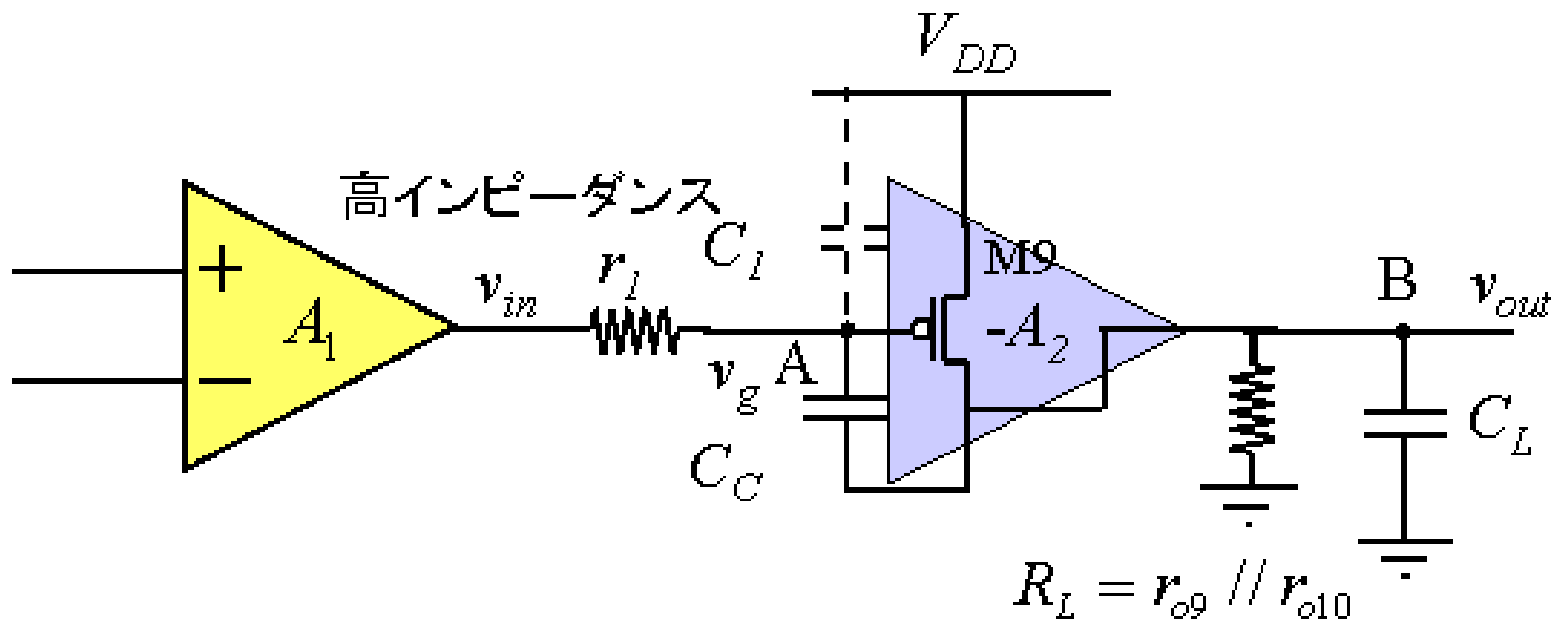
C_C を組み込むだけで
極分離が行われる



極分離法の具体例

第3次近似モデル





$$A_V(s) \equiv \frac{v_{out}}{v_{in}} \approx \frac{R_L(g_{m9} - sC_C)}{s^2 R_L r_i (C_L C_C + C_L C_1 + C_C C_1) + s R_L r_i g_{m9} C_C + 1}$$

$$A_V(s) \approx \frac{R_L(sC_C - g_{m9})}{s^2 R_L r_1(C_L C_C + C_L C_1 + C_C C_1) + s R_L r_1 g_{m9} C_C + 1}$$

分母 = 0 の根

$$\omega_{p1} + \omega_{p2} \approx \omega_{p2} = \frac{-g_{m9} C_C}{C_L C_C + C_L C_1 + C_C C_1}$$

$$\omega_{p1} = \frac{\omega_{p1} \cdot \omega_{p2}}{\omega_{p2}} \approx \frac{-1}{r_1 R_L g_{m9} C_C}$$

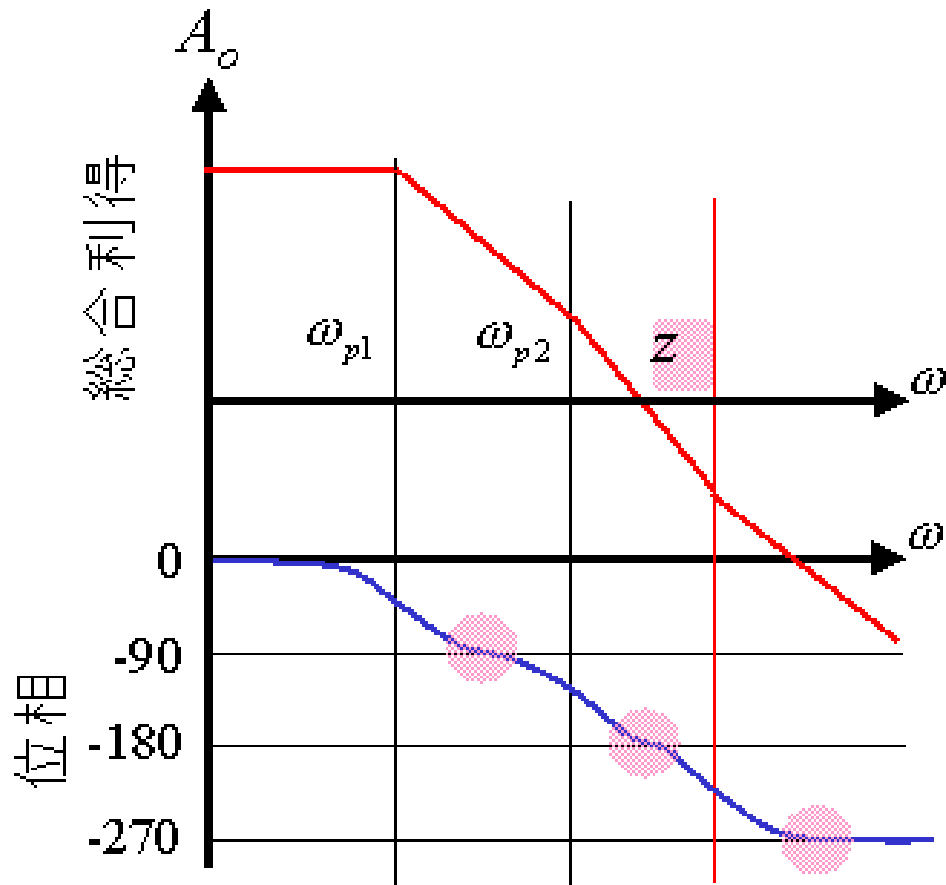


A_2 増幅率

分子 = 0 の根

$$z = \frac{g_{m9}}{C_C}$$

零点: 利得と位相への影響

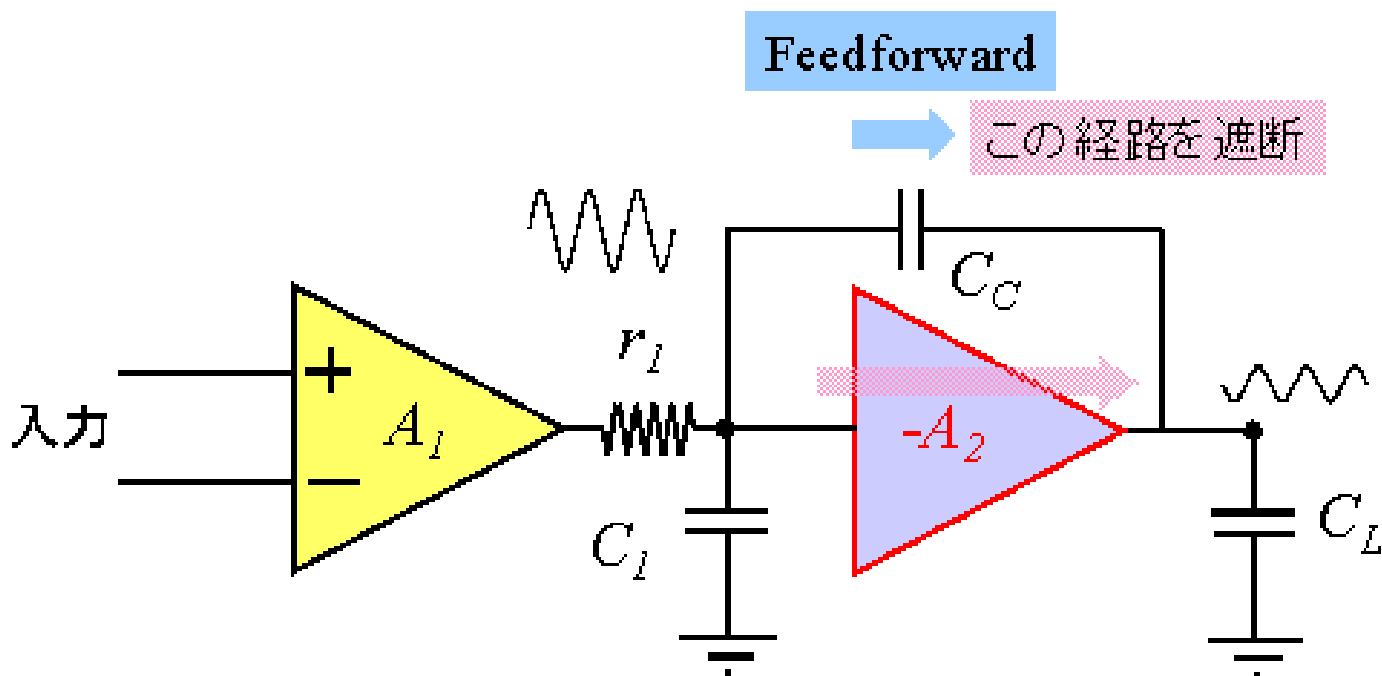


2段増幅回路の総合利得

$$A = A_o \frac{1 - \frac{s}{Z}}{\left(1 + \frac{s}{\omega_{p1}}\right) \left(1 + \frac{s}{\omega_{p2}}\right)}$$

正の零点は位相余裕を減らす

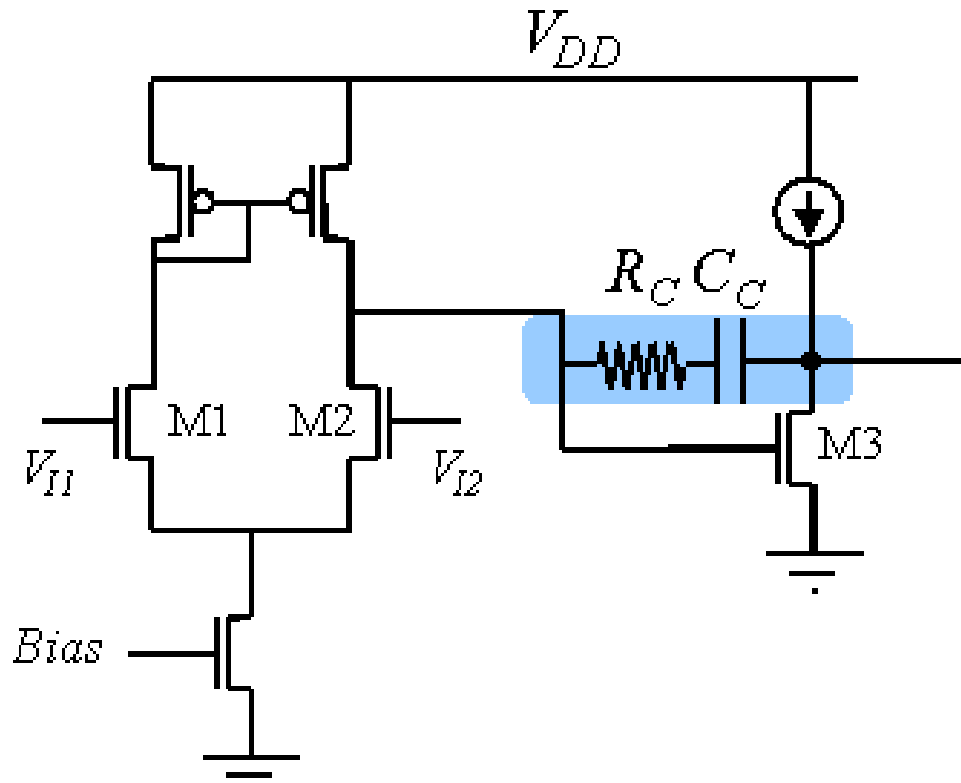
零点の原因



零点を考慮した位相補償

1. 零点消去法(Compensation of positive zero)
2. フィードフォワードパスの遮断
3. 複数経路補償法(Multipath zero cancellation technique)
4. 極・零キャンセル法(Pole zero cancellation technique)

零点消去法



ミラーループに抵抗追加
...零点を高周波側に移動...

$$z = \frac{1}{\left(\frac{1}{g_m} - R_C \right) C_C}$$

$$R_C = \frac{1}{g_m} \quad \text{にすると零点} \rightarrow \infty$$

deleted based on copyright concern.

B.K.Ahuja, IEEE JSSC SC-18,629(1983)

deleted based on copyright concern.

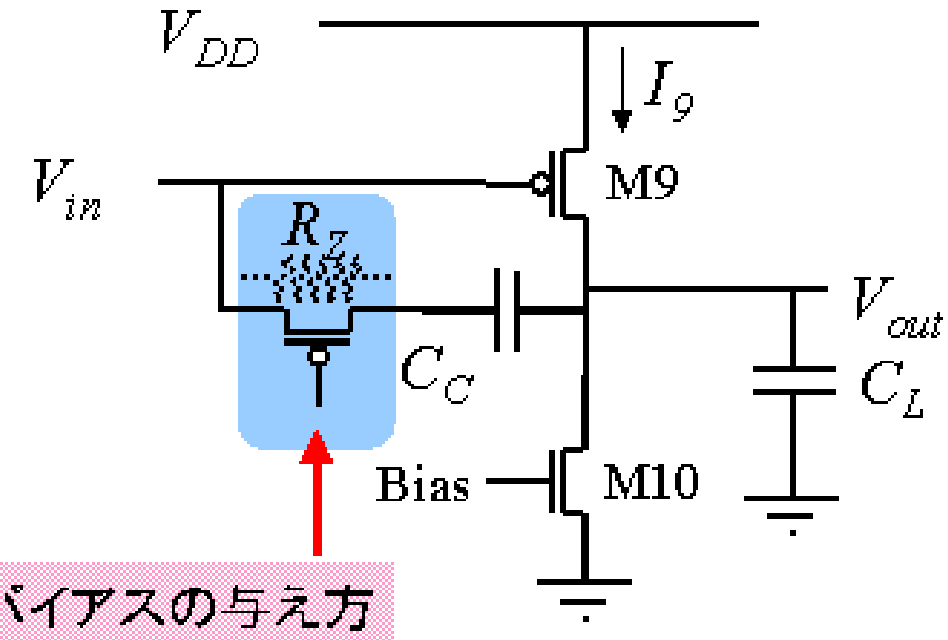
R.G.H.Eschauzier and J. Huijsing, Proc. ESSCIRC, 1993 p.122

極・零キャンセル法

$$A_v(s) = A \frac{(s - z)}{(s + \omega_{p1})(s + \omega_{p2})}$$

if $z = -\omega_{p2} \rightarrow$ 分母、分子がキャンセルする \rightarrow 極が一つ

$$A_v(s) \approx A \frac{1}{(s + \omega_{p1})} \quad \text{安定動作}$$

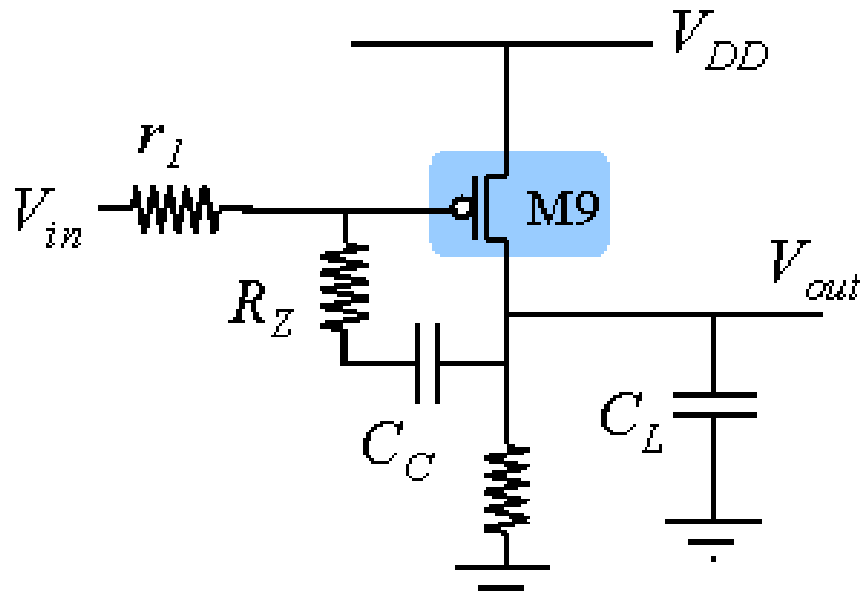


バイアスの与え方

抵抗(R_z) → MOSFETで実現すると…

問題点

R_z 値が出力電圧に依存



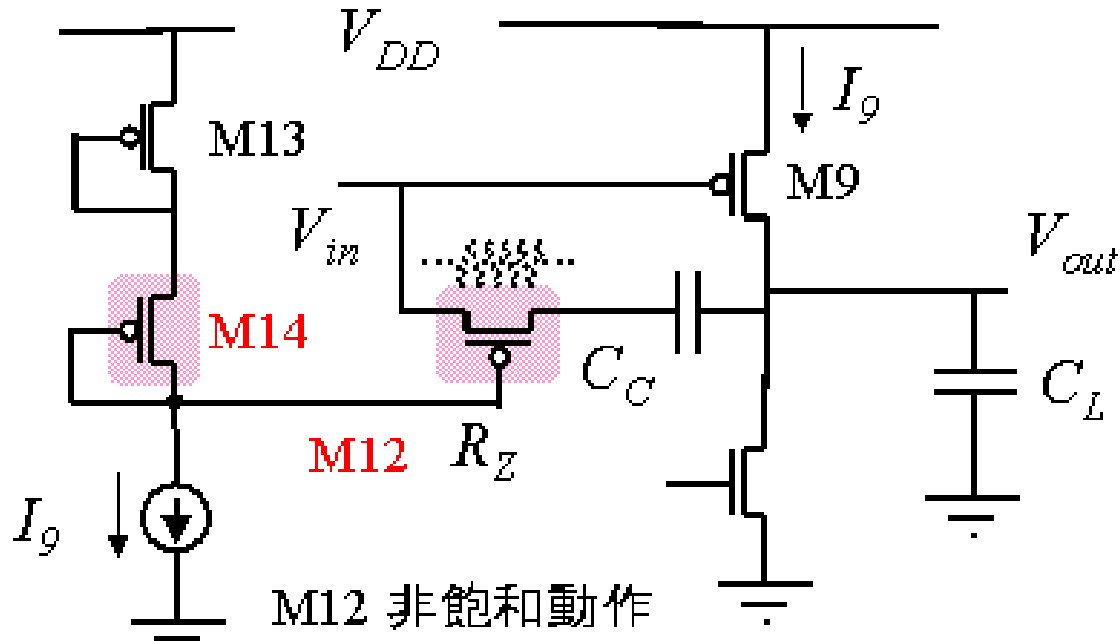
$$Z \approx \frac{1}{C_C(g_{m9}^{-1} - R_Z)}$$

$$\omega_{p2} \approx \frac{g_{m9}}{C_L}$$

極・零キャンセル法

$$Z = -\omega_{p2} \rightarrow \frac{1}{C_C(g_{m9}^{-1} - R_Z)} = \frac{-g_{m9}}{C_L}$$

$$\therefore R_Z = \frac{C_L + C_C}{g_{m9} C_C}$$



$$R_Z = \frac{1}{\beta_{12}(V_{GS12} - V_{Tp})} = \frac{\beta_{14}}{\beta_{12}} \cdot \frac{1}{g_{m14}}$$

$$\because g_{m14} = \beta_{14}(V_{GS14} - V_{Tp}) \quad \text{and} \quad V_{GS14} = V_{GS12}$$

Pole-zero cancellation 条件

$$R_Z = \frac{\beta_{14}}{\beta_{12}} \cdot \frac{1}{g_{m14}} = \frac{1}{g_{m9}} \cdot \frac{C_L + C_C}{C_C}$$

を満たすように M12, M14 の寸法決める